

## فصل سوم

### پارامترهای خطوط انتقال

#### ۱-۳ مقدمه

خطوط انتقال وسیله انتقال انرژی الکتریکی از محل تولید به محل های مصرف می باشند. این انرژی تحت ولتاژ های بالا از طریق خطوط هوائی، کابل های زیرزمینی و یا خطوط عایق شده با گاز انتقال می یابد. اکثر خطوط انتقال موجود در دنیا از نوع خطوط هوائی<sup>۱</sup> سه فاز با هادیهای لخت<sup>۲</sup> هستند که عایق بین هادیها هوا می باشد. با افزایش ولتاژ یک خط، افت ولتاژ و تلفات خط کاهش یافته و قابلیت انتقال قدرت<sup>۳</sup> افزایش می یابد.

ولتاژ خطوط انتقال از سال ۱۸۹۰ میلادی از سطح ۷KV به ۳۳۰۰ در سال ۱۸۹۶ رسید که قدرت ۱۰ MW را از آبشار نیاگارا به بوفالو نیویورک با طول ۳۲ Km انتقال می داد. در سال ۱۹۳۶ خط انتقال ۲۸۷ KV با قدرت انتقالی ۴۳۰ Km با قدرت ۲۴۰ MW نصب گردید. اولین خط انتقال ۴۰۰ KV که ژنراتورهای آبی شمال سوئد را به بارهای جنوبی آن کشور متصل می کرد شروع بکار کرد. در سال ۱۹۶۴ بهره برداری از اولین خط انتقال ۵۰۰ KV در ویرجینیا آغاز شد. در همان سال کمپانی هیدروکبک<sup>۴</sup> در کانادا خط انتقال ۷۳۵ KV خود را بطول ۶۰۰ Km مورد استفاده قرار دارد. در سال ۱۹۶۹ خط ۷۶۵ KV توسط AEP در آمریکا نصب گردید. از سال ۱۹۸۰ بی بعد نیز برنامه ریزی و مطالعه جهت استفاده از خطوط ۱۱۰۰ KV آغاز شده است.

1. Aerial Lines (Overhead Lines)
2. Bare Conductors
3. Power Transmittability
4. Hydro Quebec

می بارد، در حالیکه مخارج ثابت شامل برجهای انتقال، مقعره ها و ... بازیاد شدن ولتاژ

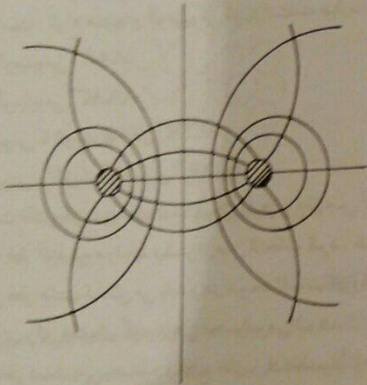
افزایش می باید. همانطوریکه در شکل (۱-۳۶) نشان داده شده است، مخارج کل انتقال در

سطح ولتاژ مشخصی به حداقل می رسد. این ولتاژ بهبه اقتصادی<sup>۱</sup> با اضافه شدن طول خط

افزایش می باید.

خطوط هوایی و یا از طریق عالیهای<sup>۱</sup> کابل ها در نظر گرفته می شود. از آنجاییکه نشت بر روی مقعره ها در خطوط هوایی قابل صرفنظر است لذا آنرا در محاسبات برای صفر متغیر می کیم.

بر اثر عبور جریان از یک خط انتقال، میدانهای مغناطیسی و الکتریکی در اطراف آن بوجود می آیند. شکل (۳-۲) یک خط انتقال یک قاز را با میدانهای مغناطیسی و الکتریکی مربوط به آن نشان می دهد. خطوط شار مغناطیسی<sup>۲</sup> حلقه های سهت ای را تشکیل می دهد و خطوط شار الکتریکی<sup>۳</sup> از بارهای الکتریکی مثبت یک هادی شروع و به بارهای منفی روی هادی دیگر ختم می شوند.

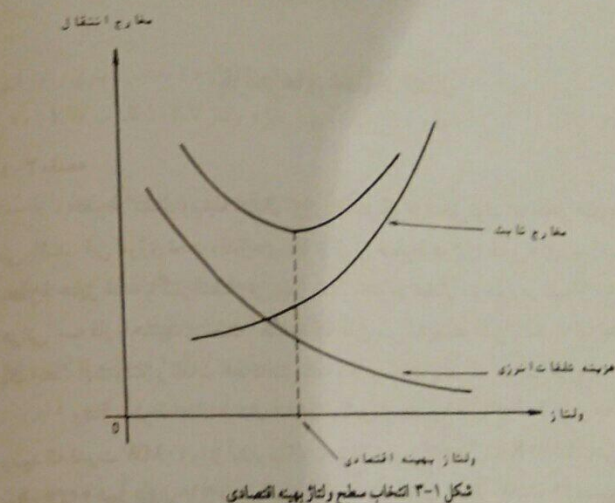


شکل ۳-۲ میدانهای مغناطیسی و الکتریکی مربوط به یک خط در میانه

تغییر جریان در هادیها باعث تغییر در تعداد خطوط مغناطیسی پیوست با مدار می گردد. اندوکتانس خاصیتی از مدار است که نسبت ولتاژ القاء شده بر اثر تغییر شار به آنگ تغییر جریان<sup>۴</sup> نسبت به زمان را نشان می دهد. کاباسیتانس پدیده است که بین دو هادی بوجود

1. Insulations
2. Magnetic Flux
3. Electric Flux
4. Rate of Change of Current

۳۵



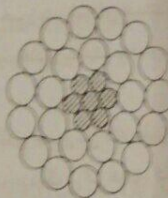
شکل ۱-۳۶ انتخاب سطح ولتاژ بهبه اقتصادی

یک خط انتقال دارای چهار پارامتر است: اندوکتانس، کاباسیتانس، مقاومت<sup>۲</sup> و کندوکتانس<sup>۳</sup>. در این فصل سه پارامتر اول مورد بحث و بررسی قرار خواهد گرفت. کندوکتانس بین هادیها و یا بین هادیها و زمین بخارط جریان نشست<sup>۴</sup> بر روی مقعره های<sup>۵</sup>

1. Optimum Economic Voltage
2. Resistance
3. Conductance
4. Leakage Current
5. Insulators

۳۶

استفاده می شود. این رشته ها از نظر التکریکی موادی یکنیگر بروند و در طول همان راه صورت مارپیچ بروندی هم قرار دارند. برای بالا بردن استقامت مکانیکی هادیها درین آنها را با رشته های فولادی با آلیله های فلزی دیگر تقویت می کنند تا درین هادیها از این نوع هادیها ACSR و یا ACAR بدمست می آید. هادی ACSR بیشتر از تمام هادیهای دکتر شده در خطوط انتقال بکار می رود. شکل (۳-۲) یک هادی آلومینیوم با تقویت فولادی (ACSR) را نشان می دهد. در این هادی لارشته فولادی هست مرکزی را تشکیل می دهد و اطراف آنها از این رشته های آلومینیومی قرار دارد. رشته های آلومینیومی در در لایه خارجی ۲۶ عدد می باشد. مشخصات چین هادی بصورت (۷/۸۱/۴۰) و با وزن خلاصه ۲۲/۷ نشان داده می شود.



شکل ۳-۲ هادی آلومینیومی با تقویت فولادی ۲۲/۷

### ۳-۳ مقاومت خطوط انتقال

عامل اصلی تلفات توان در یک خط انتقال مقاومت اهمی آن می باشد. مقاومت موتور یک خط انتقال که به مقاومت AC موسوم است طبق رابطه زیر تعریف می شود:

$$R = \frac{\text{تلفات قدرت در هادی}}{\Omega} \quad (3-1)$$

در این رابطه تلفات قدرت بر حسب وات و اجریان موتور هادی بر حسب آمپر می باشد، مقاومت DC خط انتقال برابر است با:

$$R_s = \frac{\rho l}{A} \quad (3-2)$$

در این رابطه  $\rho$  مقاومت ویژه هادی بر حسب اهم-متر،  $A$  طول هادی بر حسب متر و  $A$  سطح مقطع هادی بر حسب متر مربع است. مقدار  $\rho$  برای آلومینیوم در حرارت ۲۰ درجه سانتیگراد برابر  $\Omega \cdot m \times 10^{-8} \times 2/83 \times 10^{-8}$  است. مقدار مقاومت ویژه  $\rho$  و در نتیجه مقاومت DC بر از

من آید و برای است باندست بار الکتریکی روی هادیها به اختلاف پتانسیل بین آنها مقاومت و اندوکتانس، امیدانس های سری خط را تشکیل می دهد. کندوکتانس و کاپاکسیتانس بین هادیهای یک فاز و یا بین یک هادی و نقطه صفر یک خط سه فاز، امیدانس موافق خط انتقال می باشد. گرچه مقاومت، اندوکتانس و کاپاکسیتانس در طول خط به طور یکنواخت گستردند، لیکن مدار معادل خط انتقال را بصورت پارامترهای منظر کرنشان می دهد.

### ۳-۴ انواع هادیهای خط انتقال

در سالهای اولیه انتقال ارزی، از هادیهای مسی استفاده می شد، اما در حال حاضر هادیهای آلومینیومی کاملاً جایگزین هادیهای مسی شده اند. علت استفاده از آلومینیوم وزن سبکر و قیمت کمتر است. انواع هادیهای آلومینیومی مورد استفاده عبارتند از:

هادی تمام آلومینیومی<sup>۳</sup> AAC

هادی آلیاز آلومینیومی<sup>۴</sup> AAAC

هادی آلومینیومی با تقویت فولادی<sup>۵</sup> ACSR

هادی آلومینیومی با تقویت آلیاز فلزی<sup>۶</sup> ACAR

قابلیت هدایت الکتریکی و استقامت مکانیکی آلومینیوم از مس کمتر است. لذا برای عبور جریان مساوی، فقط آلومینیوم را باید بیشتر از مس انتخاب کرد. تنش الکتریکی<sup>۷</sup> هادی آلومینیومی با افزایش فلز هادی کاهش می یابد و در نتیجه تلفات کرونا<sup>۸</sup> کم می شود و این موضوع نیز امیاز دیگری برای هادیهای آلومینیومی محاسب می شود.

در عمل بخارت دست یابی به سطح مقطع های زیاد معمولاً از هادیهای رشته ای<sup>۹</sup>

1. Uniformely Distributed
2. Lumped Parameters
3. All Aluminum Conductor
4. All Aluminum Alloy Conductor
5. Aluminum conductor Steel Reinforced
6. Aluminum Conductor Alloy Reinforced
7. Electrical Stress
8. Corona Loss
9. Stranded Conductors

$$R_t = R_0 [1 + \alpha(t - t_0)] \quad (3-3)$$

تغییر می کند و اگر ضریب نفوذ مغناطیسی  $\alpha$  ثابت فرض شود شار پیوست مناسب است با جریان، و بنابراین ولتاژ القاء شده مناسب است با آهنگ تغییرات جریان تسبیت به زمان، این تناسب را می توان بصورت زیر نوشت:

$$e = L \frac{di}{dt} \quad (3-5)$$

که آن ضریب تناسب رابطه فوق اندوکتانس نامیده می شود و واحد آن هاری (H) است. با مقایسه دو رابطه (3-4) و (3-5) داریم:

$$L = \frac{d\tau}{di} \quad H \quad (3-6)$$

اگر شار مغناطیسی پیوست مدار بر حسب جریان بصورت خطی تغییر کند (ضریب نفوذ مغناطیسی ثابت باشد) داریم:

$$L = \frac{\tau}{i} \quad H \quad (3-7)$$

در اینجا  $\tau$  و مقادیر لحظه ای شار پیوست و جریان الکتریکی هستند. اگر جریان سینوسی باشد شار پیوست نیز سینوسی بوده و چنانچه  $\tau$  و مقادیر فازور شار پیوست و جریان در نظر گرفته شوند خواهیم داشت:

$$\psi = LI \quad L = \frac{\Psi}{I} \quad \text{ویا} \quad (3-8)$$

چون  $\tau$  و آن فاز هستند  $\tau$  یک عدد حقیقی خواهد بود. مقدار فازور افت ولتاژ برای شار پیوست نیز از رابطه زیر بدست می آید:

$$V = j\omega LI = j\omega \psi \quad (3-9)$$

### 3-5 اندوکتانس یک هادی برای شار داخلی<sup>2</sup>

تغییر خطوط شار در داخل هادی، در ولتاژ القاء شده مدار و در نتیجه اندوکتانس آن

1. Permeability
2. Internal Flux

در این رابطه  $\alpha$  ضریب حرارت هادی است. این ضریب برای آلمینیوم در حرارت ۲۰ درجه سانتیگراد برابر  $0.0039$  می باشد. در رابطه (3-3) می توان  $\alpha$  را برابر  $20^\circ$  در نظر گرفت و با استفاده از  $\alpha = 0.0039$  و  $R_0$  که مقاومت هادی در  $20^\circ$  می باشد مقاومت هادی  $R_t$  را در درجه حرارت  $t$  بدست آورد.

مقاومت موئر AC چند درصد از مقاومت DC بیشتر است زیرا:

1- هادیهای خطوط انتقال بصورت رشته ای هستند که بصورت مارپیچ روی هم قرار گرفته اند، لذا طول رشته ها از طول هادی بیشتر بوده و در نتیجه مقاومت خط افزایش می یابد.

2- جریان AC که از یک هادی عبور می کند بطور یکنواخت در سطح مقطع هادی توزيع نمی شود بلکه چگالی جریان در نزدیک مرکز هادی کمتر بوده و تمايل دارد که در سطح جانبی هادی تمرکز یابد. این موضوع به اثر پوستی<sup>1</sup> معروف است. اثر پوستی باعث کاهش سطح مقطع موئر و در نتیجه افزایش مقاومت هادی می گردد.

### 3-4 تعریف اندوکتانس

ولتاژ القاء شده<sup>2</sup> در یک مدار برابر است با آهنگ تغییرات شار پیوست<sup>3</sup> نسبت به زمان در آن مدار:

$$e = \frac{d\tau}{dt} \quad (3-4)$$

در این رابطه  $\tau$  ولتاژ القاء شده بر حسب ولت و  $\tau$  شار پیوست مدار بر حسب ویر-دور (wb-t) می باشد.

برای تغییر جریان یک مدار، میدان مغناطیسی آن (که با شار پیوست بیان می شود) نیز

1. Skin Effect
2. Induced Voltage
3. Linkage Flux

$$B_x = \mu H_x = \frac{\mu I}{2\pi r} \text{ wb/m}$$

در اینجا  $|I|$  ضریب نفوذ مغناطیسی هادی می باشد. برای محاسبه  $dx$  در شکل (۳-۴) شار مغناطیسی در واحد طول برابر است با:

$$d\Phi = \frac{\mu I}{2\pi r} dx \text{ wb/m}$$

شار پیوست در واحد طول  $d\psi$  که برای شار عنصر با محاسبه  $dx$  بوجود می آید برابر است با:

$$d\psi = \frac{\pi x'}{\pi r} d\Phi = \frac{\mu x' I}{2\pi r} dx \text{ wb/m}$$

با انتگرال گیری در فاصله  $x=0$  تا  $x=r$  کل شار پیوست داخلی محاسبه می شود:

$$\Psi_{int} = \int_0^r \frac{\mu x'}{2\pi r} Idx$$

$$\Psi_{int} = \frac{\mu I}{8\pi} \text{ wb/m} \quad (3-10)$$

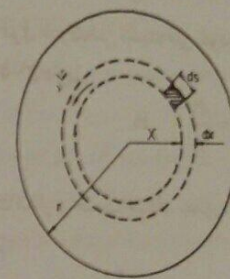
در صورتیکه ضریب نفوذ مغناطیسی نسبی برابر یک باشد ( $\mu_r = 1$ ) در اینصورت:

$$\mu = \mu_r \mu_s = \mu_s = 4\pi \times 10^{-7} \text{ H/m} \quad (3-11)$$

$$\Psi_{int} = \frac{1}{2} I \times 10^{-9} \text{ wb/m} \quad (3-12)$$

ولذا می توان اندوکتانس هادی برای شار داخلی را از رابطه  $L_{int} = \frac{\Psi_{int}}{I}$  مطابق زیر نشان داد:

$$L_{int} = \frac{1}{2} \times 10^{-9} \text{ H/m} \quad (3-13)$$



شکل ۳-۴ سطح مقطع یک هادی استوانه ای

جریان محصور شده به شعاع  $X$  برابر است با:

$$I_x = \frac{\pi x'}{\pi r} I = \frac{x'}{r} I$$

در این رابطه  $I$  جریان کل هادی و  $X$  شعاع هادی می باشد. چنانچه رابطه قانون آمپر را برای مسیر به شعاع  $X$  بنویسیم:

$$I_x = \oint H_x ds$$

که  $H_x$  شدت میدان مغناطیسی<sup>۱</sup> در هر نقطه از مسیر دایره ای به شعاع  $X$  بر حسب آمپر دور بر متر (At/m) می باشد، با فرض توزیع یکنواخت چگالی جریان<sup>۲</sup> داریم:

$$H_x = \frac{I_x}{2\pi X} = \frac{x'}{r^2} I \frac{1}{2\pi X} = \frac{x'}{2\pi r} I \text{ At/m}$$

#### 1. Magnetic Field Intensity

#### 2. Current Density

شار پیوست کل بین نقاط  $P_1$  و  $P_2$  با انگرال گیری از رابطه فوق در حدود  $x = D_r$  و  $x = D_t$  بدست می آید:

$$\Psi_{12} = \int_{D_r}^{D_t} \frac{\mu I}{2\pi x} dx = \frac{\mu I}{2\pi} \ln \frac{D_t}{D_r} \quad wb - t/m$$

برای  $\mu_r = 4\pi \times 10^{-7}$  H/m و  $\mu_t = 1$  داریم:

$$\Psi_{12} = 2 \times 10^{-7} I \ln \frac{D_t}{D_r} \quad wb - t/m \quad (3-14)$$

اندوکتانس هادی فقط برای شار محصور بین  $P_1$  و  $P_2$  برابر است با:

$$L_{12} = 2 \times 10^{-7} \ln \frac{D_t}{D_r} \quad H/m \quad (3-15)$$

### ۳-۷ اندوکتانس خط یک فاز دو سیمه

در شکل (۳-۶) دو هادی استوانه ای توابع با شعاع های  $r_1$  و  $r_2$  که به فاصله  $D$  از یکدیگر قرار گرفته اند نشان داده شده است. ابتدا فقط شار پیوست مدار را که برای جریان هادی ۱ ایجاد می شود در نظر می گیریم. اندوکتانس مدار برای عبور جریان از هادی ۱ از مجموع اندوکتانس های بدست آمده برای شار پیوست داخلی و خارجی هادی بدست می آید. اندوکتانس بخاطر شار خارجی با جایگزینی  $D = D_r$  و  $r_1 = r$  در رابطه (۳-۱۵) بدست می آید:

$$L_{1m} = 2 \times 10^{-7} \ln \frac{D}{r_1} \quad H/m \quad (3-16)$$

و اندوکتانس فقط بخاطر شار داخلی نیز مطابق رابطه (۳-۱۳) برابر است با:

$$L_{1m} = \frac{1}{2} \times 10^{-7} \quad H/m$$

کل اندوکتانس مدار بخاطر عبور جریان از هادی ۱ از رابطه زیر حساب می شود:

$$L_1 = \left( \frac{1}{2} + 2 \ln \frac{D}{r_1} \right) 10^{-7} = 2 \times 10^{-7} \left( \frac{1}{2} + \ln \frac{D}{r_1} \right)$$

شکل (۳-۵) یک هادی استوانه ای با شعاع ۲ حامل جریان ۱ را نشان می دهد.

دو نقطه  $P_1$  و  $P_2$  را در فواصل  $D_r$  و  $D_t$  از مرکز هادی در نظر بگیرید. شدت میدان

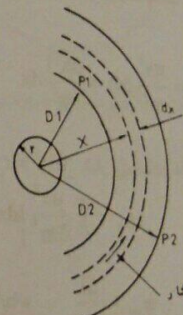
معناتیسی در نقطه ای به فاصله  $x$  از مرکز هادی طبق قانون آمپر برابر است با:

$$H_x = \frac{I}{2\pi x} \quad At/m$$

برای عنصر با ضخامت  $dx$  که در شکل (۳-۵) نشان داده شده است چگالی شار از رابطه زیر

بدست می آید:

$$B_x = \mu H_x = \frac{\mu I}{2\pi x} \quad wb/m^2$$



شکل ۳-۵ هادی استوانه ای و شار پیوست خارجی

شار  $\Phi$  در عنصر با ضخامت  $dx$  برای طول یک متر برابر است با:

$$d\Phi = \frac{\mu I}{2\pi x} dx \quad wb/m$$

شار خارجی<sup>۱</sup> هادی با تمام جریان هادی پیوست می باشد، بنابراین:

$$d\psi = d\Phi = \frac{\mu I}{2\pi x} dx \quad wb/m$$

### 1. External Flux

محل اشعاع هادیهای یک خط تک فاز مساوی هستند، لذا با جایگزینی  $r'_1 = r'_2$  در رابطه (۳-۲۱) داریم:

$$L = 4 \times 10^{-7} \ln \frac{D}{r'} \quad \text{H/m} \quad (3-22)$$

در این رابطه  $D = 0.7788\pi$  شاعع متوسط هندسی GMR هر یک از هادیهای خط پک فاز می‌باشد. رابطه (۳-۲۲) اندوکتانس یک خط دو سیمه را نشان می‌دهد. اندوکتانس هر هادی نصف آن بوده و از رابطه زیر بدست می‌آید:

$$L = 2 \times 10^{-7} \ln \frac{D}{r'} \quad \text{H/m} \quad (3-23)$$

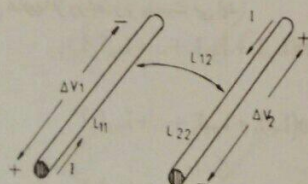
اندوکتانس خط یک فاز دو سیمه را می‌توان بر حسب اندوکتانس ظاهری خود القاء<sup>۱</sup> هر هادی و اندوکتانس ظاهری متقابل<sup>۲</sup> بین آنها نوشت. شکل (۳-۷) خط یک فاز را در واحد طول (یک متر) نشان می‌دهد. اندوکتانس‌های ظاهری خود القاء دو هادی در واحد طول به ترتیب با  $L_{11}$  و  $L_{22}$  و اندوکتانس ظاهری متقابل آنها در واحد طول با  $L_{12}$  نشان داده شده است. افت ولتاژ‌های  $\Delta V_1$  و  $\Delta V_2$  (افت ولتاژ در واحد طول هر یک از هادیها) از روابط زیر بدست می‌آیند:

$$\Delta V_1 = j\omega L_{11}I - j\omega L_{12}I$$

$$\Delta V_2 = j\omega L_{22}I - j\omega L_{12}I$$

افت ولتاژ کل در مدار این چنین محاسبه می‌شود:

$$\Delta V = \Delta V_1 + \Delta V_2 = j\omega(L_{11} + L_{22} - 2L_{12})I$$



شکل ۳-۷ خط پک فاز دو سیمه در واحد طول

1. Apparent Self Inductance

2. Apparent Mutual Inductance

۴۵

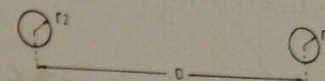
$$= 2 \times 10^{-7} \left( \ln \frac{1}{r'_1} + \ln \frac{D}{r'_1} \right) = 2 \times 10^{-7} \ln \frac{D}{r'_1} \quad \text{H/m}$$

اگر  $r'_1$  را برابر  $r'_e$  جایگزین کنیم داریم:

$$L_1 = 2 \times 10^{-7} \ln \frac{D}{r'_e} \quad \text{H/m} \quad (3-17)$$

در این رابطه  $r'_e$  را می‌توان شاعع یک هادی فرضی در نظر گرفت که اندوکتانس داخلی آن صفر بوده لیکن اندوکتانس آن با اندوکتانس هادی واقعی با شاعع  $r'_e$  برابر است.

$$r'_e = r_e^{\frac{1}{2}} = 0.7788 \quad r_e \quad (3-18)$$



شکل ۳-۶ خط پک فاز دو سیمه

با توجه به روابط (۳-۱۷) و (۳-۱۸) در محاسبات اندوکتانس، از اندوکتانس داخلی صرفنظر می‌کنیم و در عوض بجای شاعع  $r'_e$  از آن استفاده کرده و از رابطه (۳-۱۷) مستقیماً اندوکتانس را بدست می‌آوریم. کمیت  $r'_e$  بعنوان «شعاع متوسط هندسی»<sup>۱</sup> هادی توبیر (GMR) معروف است.

بطور مشابه اندوکتانس مدار براثر عبور جریان از هادی ۲ برابر است با:

$$L_r = 2 \times 10^{-7} \ln \frac{D}{r'_e} \quad \text{H/m} \quad (3-19)$$

$$r'_e = r_e^{\frac{1}{2}} = 0.7788 \quad r_e \quad (3-20)$$

و اندوکتانس کل مدار این چنین محاسبه می‌شود:

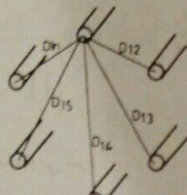
$$L = L_1 + L_r = 4 \times 10^{-7} \ln \frac{D}{\sqrt{r_1 r_2}} \quad \text{H/m} \quad (3-21)$$

1. Geometric Mean Radius

۴۶

$$L_{jj} = 2 \times 10^{-7} \ln \frac{1}{r_j} \quad H/m \quad (3-27)$$

$$L_{jk} = 2 \times 10^{-7} \ln \frac{1}{D_{jk}} \quad H/m \quad (3-28)$$

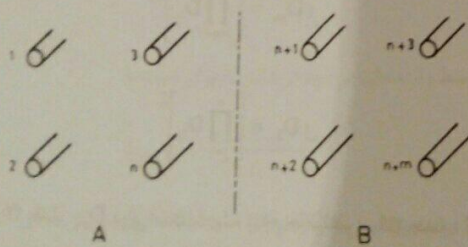


شکل ۳-۸ مجتمع n هادی

در این روابط  $r$  شعاع هادی شماره  $j$  و  $D_{jk}$  فاصله دو هادی  $j$  و  $k$  از یکدیگر می‌باشد.

### ۳-۹ اندوکتانس خطوط انتقال مركب

يکی از کاربردهای مهم معادلات (۳-۲۶) محاسبه اندوکتانس خط یک فاز دویمه مركب می‌باشد. فرض کنید که هادی A (هادی رفت) از  $n$  رشته مشابه با جریان  $\frac{I}{n}$  و هادی B (هادی برگشت) از  $m$  رشته مشابه با جریان  $\frac{I}{m}$  تشکیل شده باشند.



شکل ۳-۹ سیستم یک فاز با در هادی مركب

1. Multiconductor Lines

$$L = L_{11} + L_{rr} - 2L_{rr} \quad H/m \quad (3-24)$$

اندوکتانس خط را با توجه به رابطه (۳-۲۱) بصورت زیر می‌توان نوشت:

$$L = 2 \times 10^{-7} \left( \ln \frac{1}{r_1} + \ln \frac{1}{r_1} - 2 \ln \frac{1}{D} \right) \quad H/m$$

به این ترتیب اندوکتانس های ظاهری خود القاء و القاء متقابل بصورت زیر تعریف می‌شوند:

$$L_{11} = 2 \times 10^{-7} \ln \frac{1}{r_1}$$

$$L_{rr} = 2 \times 10^{-7} \ln \frac{1}{r_1} \quad (3-25)$$

$$L_{12} = 2 \times 10^{-7} \ln \frac{1}{D}$$

### ۳-۸ برومس مجتمع هادیها

مطالعه مجتمعی که دارای چندین هادی می‌باشد مارا قادر می‌سازد تا بتوانیم اندوکتانس چنین هادی هایی را در وضعیت های مختلف بدست آوریم. گروهی از هادیها را مطابق شکل (۳-۸) در نظر بگیرید. مجموع جریان این هادیها برابر صفر است. افت ولتاژ در واحد طول هر یک از این هادیها از روابط زیر بدست می‌آید:

$$V_1 = j\omega(L_{11}I_1 + L_{12}I_r + \dots + L_{1n}I_n)$$

$$V_r = j\omega(L_{rr}I_r + L_{rr}I_r + \dots + L_{rn}I_n) \quad (3-26)$$

$$\vdots$$

$$V_n = j\omega(L_{nn}I_n + L_{nr}I_r + \dots + L_{rn}I_n)$$

هر یک از اندوکتانس های ظاهری خود القاء و القاء متقابل  $L_{rr}$  و  $L_{jk}$  از روابط زیر محاسبه

رشته های هادی A می باشد، به این ترتیب داریم:

$$V_i = 2 \times 10^{-3} j\omega I \ln \frac{D_{m_i}}{D_S} \quad (3-33)$$

برای رشته شماره ۱ در هادی A می توان نوشت:

$$V_1 = 2 \times 10^{-3} j\omega I \ln \frac{D_{m_1}}{D_S} \quad (3-34)$$

$$D_{m_1} = \left[ \prod_{j=n+1}^{n+m} D_j \right]^{\frac{1}{n}} \quad (3-35)$$

$$D_S = \left[ \prod_{j=1}^n D_j \right]^{\frac{1}{n}} \quad (3-36)$$

اندوکتانس L برای رشته هادی شماره ۱ از رابطه زیر بدست می آید:

$$V_1 = j\omega L_i I_1 = j\omega L_i \frac{1}{n} \quad (3-37)$$

از مقایسه دو رابطه (3-34) و (3-37) داریم:

$$L_i = 2 \times 10^{-3} n \ln \frac{D_{m_i}}{D_S} \quad (3-38)$$

اندوکتانس متوسط رشته های موجود در هادی A برابر است با:

$$L_{av} = \frac{L_1 + L_2 + \dots + L_n}{n}$$

و چون n رشته در هادی A با یکدیگر موازی هستند لذا اندوکتانس کل هادی A برابر است با:

$$L_A = \frac{L_{av}}{n} = \frac{L_1 + L_2 + \dots + L_n}{n} = \frac{1}{n} \sum_{i=1}^n L_i \quad (3-39)$$

$$V_i = 2 \times 10^{-3} j\omega \left( I \sum_{j=1}^n \ln \frac{1}{D_j} - \frac{1}{m} \sum_{j=n+1}^{n+m} \ln \frac{1}{D_j} \right) \quad (3-40)$$

از طرفی می توان نوشت:

$$\frac{1}{n} \sum_{j=1}^n \ln \frac{1}{D_j} = \ln \frac{1}{\left[ \prod_{j=1}^n D_j \right]^{\frac{1}{n}}}$$

بنابراین افت ولتاژ V این چنین محاسبه می شود:

$$V_i = 2 \times 10^{-3} j\omega I \ln \left[ \frac{\left[ \prod_{j=n+1}^{n+m} D_j \right]^{\frac{1}{m}}}{\left[ \prod_{j=1}^n D_j \right]^{\frac{1}{n}}} \right] \quad (3-40)$$

در این رابطه  $D_{11} = I$  بوده و علامت  $\prod$  نشان دهنده عامل ضرب است.

صورت و مخرج رابطه (3-40) را می توان مطابق زیر تعریف نمود:

$$D_{m_i} = \left[ \prod_{j=n+1}^{n+m} D_j \right]^{\frac{1}{m}} \quad (3-41)$$

$$D_S = \left[ \prod_{j=1}^n D_j \right]^{\frac{1}{n}} \quad (3-42)$$

در رابطه (3-41) مقدار  $D_{m_i}$  برابر است با رشته  $m$  حاصلضرب  $m$  جمله، که هر یک از این جملات فاصله رشته هادی ۱ از همه رشته های هادی B می باشد. در رابطه (3-42) نیز  $D_S$  برابر است با رشته  $n$  حاصلضرب  $n$  جمله، که هر یک از جملات فاصله رشته هادی ۱ از همه

هارا می توان از رابطه زیر تعیین کرد:

$$L = L_A = L_B = 2 \times 10^{-7} \ln \frac{GMD}{GMR} \quad H/m \quad (3-44)$$

در این رابطه:

$$GMD = \left[ \prod_{i=1}^n \prod_{j=n+1}^n D_{ij} \right]^{\frac{1}{n}} \quad (3-45)$$

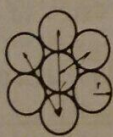
$$GMR = \left[ \prod_{i=1}^n \prod_{j=1}^{n+m} D_{ij} \right]^{\frac{1}{n+m}} \quad (3-46)$$

روابط کلی (۳-۴۱) و (۳-۴۲) را به شکل های زیر نیز می توان نوشت:

$$D_m = \sqrt[n+m]{D_{1,n+1} \dots D_{1,n+m} D_{2,n+1} \dots D_{2,n+m} \dots D_{n,n+1} \dots D_{n,n+m}} \quad (3-47)$$

$$D_{S_A} = \sqrt[n]{(D_{1,1} \dots D_{1,n})(D_{2,1} \dots D_{2,n}) \dots (D_n,1 \dots D_{nn})} \quad (3-48)$$

مثال ۱-۳-۱ یک هادی ۷ رشته ای با شعاع ۲ مطابق شکل (۱۰-۳) را در نظر بگیرید.  $D_s$  یا GMR این هادی را محاسبه کنید.



شکل ۱۰-۳-۱ هادی ۷ رشته ای

حل:

$$D_s = \sqrt[7]{r^{1/7} (2r)^7 (2\sqrt{2}r)^7 (4r)^7} \\ = \sqrt[7]{(r/1767r)^7 r^7 (2r)^7 (2\sqrt{2}r)^7 (4r)^7} = 2/1767r$$

مثال ۱-۳-۲ یک خط انتقال یک فاز مطابق شکل (۱۱-۳) از سه سیم توپر به شعاع ۲۵cm برای

$$L_A = 2 \times 10^{-7} \ln \left[ \frac{\left( \prod_{i=1}^n D_{m_i} \right)^{\frac{1}{n}}}{\left( \prod_{i=1}^n D_{s_i} \right)^{\frac{1}{n}}} \right] \quad (3-48)$$

صورت و مخرج رابطه (۳-۴۰) را مطابق زیر تعریف می کنیم:

$$D_m = \left[ \prod_{i=1}^n D_{m_i} \right]^{\frac{1}{n}} = \left[ \prod_{i=1}^n \prod_{j=n+1}^{n+m} D_{ij} \right]^{\frac{1}{n+m}} \quad (3-49)$$

$$D_{S_A} = \left[ \prod_{j=1}^n D_{S_j} \right]^{\frac{1}{n}} = \left[ \prod_{i=1}^n \prod_{j=1}^n D_{ij} \right]^{\frac{1}{n}} \quad (3-50)$$

$D_m$  nm ام حاصلضرب جمله است که این جملات فواصل n رشته مربوط به هادی A از m رشته مربوط به هادی B می باشند.  $D_m$  را فاصله متوسط هندسی<sup>۱</sup> نامیده آنرا با علامت اختصاری GMD نیز نشان می دهن.  $D_{S_A}$  nm حاصلضرب n جمله است که این جملات فواصل n رشته مربوط به هادی A از یکدیگر می باشند. باید دقت نمود که جمله  $D_s$  برابر r است.  $D_{S_A}$  را شعاع متوسط هندسی<sup>۲</sup> هادی A می نامند و آنرا با علامت اختصاری GMR نشان می دهن. رابطه اندوکتانس هادی A را می توان این چنین نوشت:

$$L_A = 2 \times 10^{-7} \ln \frac{D_m}{D_{S_A}} \quad H/m \quad (3-51)$$

اندوکتانس هادی B نیز به روش مشابه قابل محاسبه است. اندوکتانس کل مدار نیز از جمع اندوکتانس های دو هادی A و B بدست می آید.

در خط انتقال هادی های A و B کاملاً مشابه هستند، لذا اندوکتانس هر یک از هادی

1. Geometric Mean Distance

2. Geometric Mean Radius

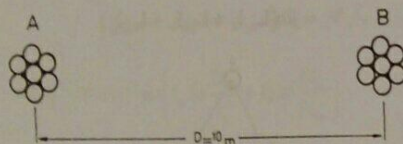
$$D_{S_0} = \sqrt{(\cdot / 5 \times \cdot / 778 \times 10^{-3})^2 \times 5} = 0.1395 \text{ m}$$

$$L_A = 2 \times 10^{-9} \ln \frac{\lambda / 51}{0.1395} = 5.94 \times 10^{-9} \text{ H/m}$$

$$L_B = 2 \times 10^{-9} \ln \frac{\lambda / 51}{0.1395} = 5.92 \times 10^{-9} \text{ H/m}$$

$$L = L_A + L_B = 14.86 \times 10^{-9} \text{ H/m}$$

$$= 14.86 \text{ mH/Km}$$



شکل ۳-۱۲ خط یک فاز با هادیهای رشته ای

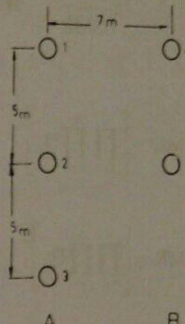
اگر خط یک فاز از دو هادی رشته ای تشکیل شده باشد احتیاجی به محاسبه GMD نیست و این مقدار برابر با فاصله مرکز دو هادی می باشد. مثلاً اگر هادی مثال (۳-۱)، ۷ رشته ای، بعنوان هادی رفت و بروگشت اختخاب شود و فاصله هادیها از یکدیگر مطابق شکل (۳-۱۲) ۱۰ m و شعاع هر رشته در هادیها  $8/4 \text{ cm}$  باشد داریم:

$$D_m = D = 10 \text{ m}$$

$$D_{S_A} = D_{S_B} = 2/1767 \times 0.84 \times 10^{-3} = 0.183 \text{ m}$$

$$L_A = L_B = 2 \times 10^{-9} \ln \frac{10}{0.183} = 12.6 \times 10^{-9} \text{ H/m}$$

اگر در شکل (۳-۱۱) هادیهای بکار رفته هر کدام رشته ای باشند در اینصورت در رابطه



شکل ۳-۱۱ مریوط به مثال (۳-۲)

حل: ابتدا GMD بین هادی های A و B را بدست می آوریم:

$$D_m = \sqrt[5]{D_{11} D_{12} D_{21} D_{22} D_{11} D_{22}}$$

$$D_{11} = D_{22} = V \text{ m}$$

$$D_{12} = D_{21} = D_{11} = \sqrt{V^2 + V^2} = \lambda / 6 \text{ m}$$

$$D_{22} = \sqrt{V^2 + V^2} = 12/2 \text{ m}$$

$$D_m = \sqrt[5]{V^2 \times \lambda / 6^2 \times 12/2} = \lambda / 51 \text{ m}$$

حال GMR را برای هادی A محاسبه می کنیم:

$$D_{S_A} = \sqrt[5]{D_{11} D_{12} D_{21} D_{22} D_{11} D_{22} D_{11} D_{22}} \quad (۳-۴۹)$$

$$D_{11} = D_{22} = D_{11} = r' = \cdot / 0.25 \times \cdot / 7788 = 0.0195 \text{ m}$$

$$D_S = \sqrt[5]{(0.0195)^2 \times 5^2 \times 10} = 0.426 \text{ m}$$

$$V_a = 2 \times 10^{-v} j\omega \left( I_a \ln \frac{1}{r'_a} + I_b \ln \frac{1}{D_{ab}} + I_c \ln \frac{1}{D_{ac}} \right)$$

$$V_b = 2 \times 10^{-v} j\omega \left( I_a \ln \frac{1}{D_{ab}} + I_b \ln \frac{1}{r'_b} + I_c \ln \frac{1}{D_{bc}} \right) \quad (3-51)$$

$$V_c = 2 \times 10^{-v} j\omega \left( I_a \ln \frac{1}{D_{ac}} + I_b \ln \frac{1}{D_{bc}} + I_c \ln \frac{1}{r'_c} \right)$$

در روابط فوق فرض بر این بوده است که هادیها توپر باشند. اگر هادیها بصورت رشته ای باشند بجای  $r'_a$  باید  $D_{aa}$ ، بجای  $r'_b$ ، باید  $D_{bb}$  و بجای  $r'_c$  باید  $D_{cc}$  را جایگزین نمود. با توجه به اینکه در سیستم های متقابله سه فاز  $I_a + I_b + I_c = 0$  است، لذا در هر یک از معادلات فوق می توان یکی از جریانها را حذف نمود. بنابراین:

$$V_a = 2 \times 10^{-v} j\omega \left( I_a \ln \frac{D_{ac}}{r'_a} + I_b \ln \frac{D_{ac}}{D_{ab}} \right)$$

$$V_b = 2 \times 10^{-v} j\omega \left( I_a \ln \frac{D_{bc}}{D_{ab}} + I_b \ln \frac{D_{bc}}{r'_b} \right) \quad (3-52)$$

$$V_c = 2 \times 10^{-v} j\omega \left( I_b \ln \frac{D_{ac}}{D_{bc}} + I_c \ln \frac{D_{ac}}{r'_c} \right)$$

این روابط نشان می دهند که افت ولتاژ در هر فاز فقط به جریان آن فاز بستگی ندارد و اندوکتانس ها برای سه فاز باهم مساوی نخواهند بود.

در حالتی که هادیها سه فاز یکسان بوده و فاصله آنها از یکدیگر مساوی باشد

$$\begin{aligned} D_{ab} &= D_{bc} = D_{ac} = D \\ r'_a &= r'_b = r'_c = r' \end{aligned}$$

با جایگزینی این مقادیر در رابطه (3-51) خواهیم داشت:

$$V_a = 2 \times 10^{-v} j\omega I_a \ln \frac{D}{r'}$$

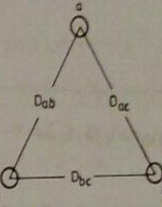
(3-49) باید مقادیر  $D_{aa} = 2/10^{-v} r'_a$  و  $D_{bb} = 2/10^{-v} r'_b$  و  $D_{cc} = 2/10^{-v} r'_c$  باشد. این بحسب آنکه در مجموعه مذکور  $L_A$  بدهست آن و برای هادیها ۴ و ۵ نیز باید به مسین ترتیب عمل نمود تا  $L_A$  تعیین شود.

**۳-۱۰ اندوکتانس خطوط انتقال سه فاز**  
هادیها یک خط انتقال سه فاز مطابق شکل (۳-۱۳) نشان داده شده اند. افت ولتاژ در واحد طول هر یک از فازها را می توان بصورت زیر نوشت:

$$V_a = j\omega (L_{aa} I_a + L_{ab} I_b + L_{ac} I_c)$$

$$V_b = j\omega (L_{ab} I_a + L_{bb} I_b + L_{bc} I_c)$$

$$V_c = j\omega (L_{ac} I_a + L_{bc} I_b + L_{cc} I_c)$$



شکل ۳-۱۳ نمایش خط سه فاز

در این روابط  $L_{aa}$  و  $L_{bb}$  و  $L_{cc}$  اندوکتانس های ظاهری خود القاء هر یک از فازها و  $L_{ab}$  و  $L_{bc}$  اندوکتانس های ظاهری القاء متقابله بین هر یک از دو فاز می باشند.  $L_{aa}$  و  $L_{bb}$  را می توان بصورت زیر نوشت:

$$L_{aa} = 2 \times 10^{-v} \ln \frac{1}{r'_a} \quad (3-50)$$

$$L_{ab} = 2 \times 10^{-v} \ln \frac{1}{D_{ab}}$$

بقیه اندوکتانس های نیز بطریق مشابه بدست می آیند. بنابراین داریم:

لیکن چون هر سه فاز در سه فاصله مذکور هر سه موقعیت ۱ و ۲ و ۳ را اشغال می کنند، اندوکتانس فازها در یک سیکل کامل جابجایی با یکدیگر مساوی خواهد شد. روابط افت ولتاژ در واحد طول را در فاصله های I و II و III با استفاده از رابطه (۳-۵۱) برای فاز a نویسیم:

$$V_{a_1} = 2 \times 10^{-7} j\omega \left( I_a \ln \frac{1}{D_s} + I_b \ln \frac{1}{D_{1r}} + I_c \ln \frac{1}{D_{1r}} \right)$$

$$V_{a_2} = 2 \times 10^{-7} j\omega \left( I_a \ln \frac{1}{D_s} + I_b \ln \frac{1}{D_{rr}} + I_c \ln \frac{1}{D_{rr}} \right)$$

$$V_{a_3} = 2 \times 10^{-7} j\omega \left( I_a \ln \frac{1}{D_s} + I_b \ln \frac{1}{D_{1r}} + I_c \ln \frac{1}{D_{1r}} \right)$$

در این روابط برای حالت کلی از D<sub>s</sub> استفاده کرده ایم. اگر هادیها توپر باشند بجای D<sub>s</sub> از مقدار ۰ استفاده می کنیم و اگر هادیها رشته ای باشند D<sub>s</sub> را محاسبه کرده و در این روابط قرار می دهیم. افت ولتاژ متوسط برای فاز a برابر است با:

$$V_a = \frac{1}{3} (V_{a_1} + V_{a_2} + V_{a_3})$$

$$= 2 \times 10^{-7} j\omega \left( I_a \ln \frac{1}{D_s} + I_b \ln \frac{1}{[D_{1r} D_{rr} D_{1r}]^{\frac{1}{2}}} + I_c \ln \frac{1}{[D_{1r} D_{rr} D_{1r}]^{\frac{1}{2}}} \right)$$

از طرفی داریم:

$$I_b + I_c = -I_a$$

لذا خواهیم داشت:

$$V_a = 2 \times 10^{-7} j\omega I_a \ln \frac{[D_{1r} D_{rr} D_{1r}]^{\frac{1}{2}}}{D_s}$$

$$I_b = 2 \times 10^{-7} j\omega I_b \ln \frac{D}{r'}$$

$$V_c = 2 \times 10^{-7} j\omega I_c \ln \frac{D}{r'}$$

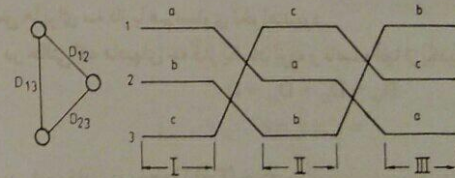
$$L_a = L_b = L_c = 2 \times 10^{-7} \ln \frac{D}{r'} \quad H/m \quad (3-53)$$

و بنابراین:

$$L = 2 \times 10^{-7} \ln \frac{D}{D_s} \quad H/m \quad (3-54)$$

### ۳-۱۱ جابجایی<sup>۱</sup> فازها در خط انتقال سه فاز

اگر فواید هادیهای یک خط سه فاز با یکدیگر برابر نباشند اندوکتانس فازها با یکدیگر مساوی نبوده و سیستم قدرت نامتنازن می گردد. از طرف دیگر تنها راه حل تقارن سیستم ها استفاده از مثلث متساوی الاضلاع هادیها نمی باشد و آرایش های مختلفی برای نصب هادی ها موجود است. یکی از روش های متناظر کردن یک خط انتقال، جابجایی فازها است. شکل (۳-۱۴) یک سیکل کامل از جابجایی فازها را نشان می دهد. در این سیکل که دارای سه فاصله متساوی می باشد، هر یک از فازها در سه فاصله مذکور، در سه موقعیت مختلف قرار می گیرد.



شکل ۳-۱۴ پک سیکل از جابجایی فازها

#### 1. Transposition

$$L = 2 \times 10^{-3} \ln \frac{0.7888}{0.1088} = 9/23 \times 10^{-3} \text{ H/m}$$

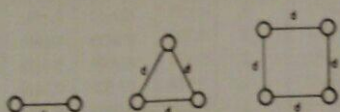
$$= 0.923 \text{ mH/Km}$$

$$L_s = 2 \times 10^{-3} \ln \frac{D_{eq}}{D_s} \text{ H/m} \quad (3-55)$$

اندوکتاتس فازهای b و c نیز با  $L_s$  برایر است. صورت رابطه (3-55) یعنی  $D_{eq}$  را می تواند بعنوان GMD خط سه فاز در نظر گرفت که بصورت زیر قابل نوشتن است:

$$D_{eq} = GMD = \sqrt{D_s D_b D_c} \quad (3-56)$$

در خطوط انتقال بیش از 220 KV ( فوق فشار فوی ) نایبر کرونا<sup>3</sup> بر مدار سیار زاد می شود. پدیده کرونا که نتیجه مستقیم وجود گردیدن و لذت این سطح هایی است باعث ایجاد تنفسات در سیستم انتقال و همچنین ایجاد داخل در سیستم های مخابراتی می گردد. برای کاهش نایبر کرونا در ولتاژهای خیلی زیاد از هادیهای گروهی (باندل) استفاده می شود. باندل ها در هر فاز شامل ۲، ۳ و یا ۴ هادی می باشند. در شکل (۳-۱۷) چنین باندل هایی نشان داده شده اند.



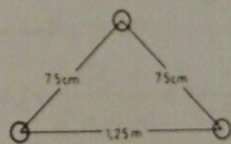
شکل ۳-۱۶ هادی های باندل

یکی دیگر از مزایای خطوط باندل، کاهش اندوکتاتس می باشد. هر چه تعداد هادی های یک باندل بیشتر باشد اندوکتاتس خط واتر کرونا کمتر خواهد شد. کاهش اندوکتاتس بر اثر افزایش GMR هر فاز است. محاسبه GMR دقیقاً مشابه یک هادی رشته ای است. اگر GMR یک باندل را با  $D_s$  و GMR هر هادی از باندل را با  $D_i$  نشان دهیم، برای باندل های شکل (۳-۱۶) خواهیم داشت:

$$D_s^b = \sqrt{(D_s \times d)} = \sqrt{D_s d} \quad (3-57)$$

اغلب سیستم های قدرت از هادیهای رشته ای ACSR استفاده می کنند. در جدول (۱-۳) انواع این هادیها با نام مصطلح خود مشخص شده اند. در این جدول نسبت تعداد رشته های آلومنیوم به فولاد Al/St ، قطر خارجی هادی بر حسب اینچ، تعداد لایه های آلومنیوم، مقاومت DC و AC و  $D_i$  یا GMR هادیها بر حسب فوت داده شده اند. از این جدول معمولاً برای تعیین  $D_i$  و قطر خارجی هادیها استفاده می شود.

مثال ۳-۳ پک خط سه فاز در فرکانس ۶۰ Hz مطابق شکل (۳-۱۵) نشان داده شده است. هادیها از نوع Hawk می باشند. اندوکتاتس هر فاز را در یک کیلومتر بدست آورید.



شکل ۳-۱۵ مربوط به مثال (۳-۳)

حل: با استفاده از جدول (۱-۳) شعاع متوسط هنتمی هادی GMR را بدست می آوریم. مساحت تعیین  $D_{eq}$  مقدار اندوکتاتس را محاسبه می کنیم.

$$D_s = 0.0289 \text{ ft} = 0.0289 \times 0.305 = 0.0088 \text{ m}$$

$$D_{eq} = \sqrt{0.75 \times 0.75 \times 1.25} = 0.889 \text{ m}$$

1. Bundle Conductors

2. Corona

$$D_s^b = \sqrt[4]{(D_s \times d')^2} = \sqrt[4]{D_s d'} \quad (3-58)$$

هادی گروهی با سه رشته

$$D_s^b = \sqrt[4]{(D_s \times d'(\sqrt{2}d))^2} = 1/\sqrt[4]{D_s d'} \quad (3-59)$$

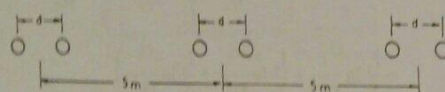
هادی گروهی با چهار رشته

برای محاسبه اندوکتانس هر فاز از یک خط سه فاز باندل از رابطه زیر استفاده می کنیم:

$$L = 2 \times 10^{-7} \ln \frac{D_{eq}}{D_s^b} \quad H/m \quad (3-60)$$

در این رابطه  $D_s^b$  شعاع متوسط هندسی (GMR) هادی گروهی (باندل) می باشد که با توجه به تعداد رشته های باندل از روابط (۳-۵۷)، (۳-۵۸) و یا (۳-۵۹) بدست می آید. فاصله متوسط هندسی (GMR) که در رابطه (۳-۶۰) با  $D_{eq}$  نشان داده شده است نیز از رابطه (۳-۵۶) بدست می آید. در این رابطه مقصود از  $D_s^b$  فاصله مرکز هادی باندل از مرکز هادی باندل می باشد.

**مثال ۳-۴** در یک خط انتقال سه فاز از باندل های در رشته ای در هر فاز استفاده شده است (مطابق شکل ۳-۱۷). نوع هادیها Pheasant بوده و فاصله هر در رشته مجاور  $d = 35\text{cm}$  می باشد. اندوکتانس هر فاز را محاسبه کنید.



شکل ۳-۱۷ خط انتقال سه فاز با باندل های در رشته ای

حل: با استفاده از جدول (۱-۳) مقدار  $D_s^b$  را برای یک رشته هادی بدست می آوریم:

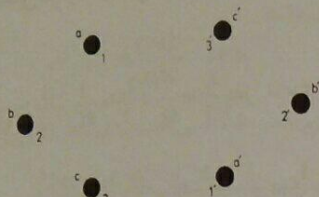
$$D_s^b = 10.466 \text{ ft}$$

$$= 10.466 \times 10^{-3} \times 3.28 = 0.142 \text{ m}$$

$$D_s^b = \sqrt{D_s d} = \sqrt{10.466 \times 0.35} = 0.17 \text{ m}$$

نام هادی	AI/St	تعداد لایه های آلومینیوم	قطر خارجی به اینچ	$R_{dc}$ $\Omega/100\text{-ft}$	$R_{ac}$ $\Omega/20^\circ\text{C}$	$R_{ac}$ $\Omega/50^\circ\text{C}$	GMR $D_s, \text{ft}$
Waxwing	18/1	2	0.609	0.0646	0.3488	0.3831	0.0198
Partridge	26/7	2	0.642	0.0640	0.3452	0.3792	0.0217
Ostrich	26/7	2	0.680	0.0569	0.3070	0.3372	0.0229
Merlin	18/1	2	0.684	0.0512	0.2767	0.3037	0.0222
Linnet	26/7	2	0.721	0.0507	0.2737	0.3006	0.0243
Oriole	30/7	2	0.741	0.0504	0.2719	0.2987	0.0255
Chickadee	18/1	2	0.743	0.0433	0.2342	0.2572	0.0241
Ibis	26/7	2	0.783	0.0430	0.2323	0.2551	0.0264
Pelican	18/1	2	0.814	0.0361	0.1957	0.2148	0.0284
Flicker	24/7	2	0.846	0.0359	0.1943	0.2134	0.0284
Hawk	26/7	2	0.858	0.0357	0.1931	0.2120	0.0289
Hen	30/7	2	0.883	0.0355	0.1919	0.2107	0.0304
Osprey	18/1	2	0.879	0.0309	0.1679	0.1842	0.0284
Parakeet	24/7	2	0.914	0.0308	0.1669	0.1832	0.0306
Dove	26/7	2	0.927	0.0307	0.1663	0.1826	0.0314
Rook	24/7	2	0.977	0.0269	0.1461	0.1603	0.0327
Grosbeak	26/7	2	0.990	0.0268	0.1454	0.1596	0.0335
Drake	26/7	2	1.108	0.0215	0.1172	0.1284	0.0373
Tern	45/7	3	1.063	0.0217	0.1188	0.1302	0.0352
Rail	45/7	3	1.165	0.0181	0.0997	0.1092	0.0386
Cardinal	54/7	3	1.196	0.0180	0.0988	0.1082	0.0402
Ortolan	45/7	3	1.213	0.0167	0.0224	0.1011	0.0402
Bluejay	45/7	3	1.250	0.0155	0.0861	0.0941	0.0415
Finch	54/19	3	1.293	0.0155	0.0856	0.0937	0.0436
Bittern	45/7	3	1.345	0.0136	0.0762	0.0832	0.0444
Pheasant	54/19	3	1.382	0.0135	0.0751	0.0821	0.0466
Bobolink	45/7	3	1.427	0.0121	0.0684	0.0746	0.0470
Plover	54/19	3	1.465	0.0120	0.0673	0.0735	0.0494
Lapwing	45/7	3	1.502	0.0109	0.0623	0.0678	0.0498
Falcon	54/19	3	1.545	0.0108	0.0612	0.0667	0.0523
Bluebird	84/19	4	1.762	0.0080	0.0476	0.0515	0.0586

$$D_{eq} = \sqrt{5 \times 5 \times 10} = 6/3 \text{ m}$$



شکل ۳-۱۸ خط انتقال سه فاز دو مداره در قسمت I جابجایی

در قسمت II از جابجایی فازها که در شکل (۳-۱۹) نشان داده شده است، افت و لغای فازهای a و a' از روابط زیر بدست می آیند.

$$V_{a_1} = 2 \times 10^{-7} j\omega \left( \frac{I_a}{2} \ln \frac{1}{D_s} + \frac{I_b}{2} \ln \frac{1}{D_{sr}} + \frac{I_c}{2} \ln \frac{1}{D_{tr}} \right)$$

$$+ \frac{I_a}{2} \ln \frac{1}{D_{rr}} + \frac{I_b}{2} \ln \frac{1}{D_{rr'}} + \frac{I_c}{2} \ln \frac{1}{D_{rr''}}$$

$$V_{a'_1} = 2 \times 10^{-7} j\omega \left( \frac{I_a}{2} \ln \frac{1}{D_s} + \frac{I_b}{2} \ln \frac{1}{D_{sr}} + \frac{I_c}{2} \ln \frac{1}{D_{tr}} \right)$$

$$+ \frac{I_a}{2} \ln \frac{1}{D_{rr'}} + \frac{I_b}{2} \ln \frac{1}{D_{rr''}} + \frac{I_c}{2} \ln \frac{1}{D_{rr'''}}$$

شکل ۳-۱۹ خط انتقال سه فاز دو مداره در قسمت II از جابجایی فازها

$$L = 2 \times 10^{-7} \ln \frac{D_{eq}}{D_s} = 2 \times 10^{-7} \ln \frac{6/3}{0.7} = 9 \times 10^{-7} \text{ H/m}$$

$$X_L = 2\pi f L = 2\pi \times 50 \times 9 \times 10^{-7} \times 1.7 = 0.283 \Omega/\text{Km}$$

### ۳-۳ خطوط انتقال سه فاز دو مداره (دوبل)

یک خط انتقال سه فاز دو مداره از دو خط سه فاز مجزا که از لحاظ الکتریکی با یکدیگر موازی هستند تشکیل شده است. اگر دو مدار ذکر شده با یکدیگر فاصله نسبتاً زیادی داشته باشند اندوکتانس هر فاز خط دوبل برابر نصف اندوکتانس هر فاز هر یک از مدارها می باشد. چنانچه هادیهای خط انتقال سه فاز دوبل همه روی یک دکل قرار گرفته باشند در اینصورت نمی توان اندوکتانس خط را با نصف کردن اندوکتانس یک مدار بدست آورد، مگر اینکه از اندوکتانس متقابل هادیهای یک مدار با مدار دیگر صرفنظر نکنیم.

شکل (۳-۱۸) یک خط انتقال سه فاز دو مداره را برای قسمت I از سه فاصله جابجایی فازها نشان می دهد. افت و لغای در واحد طول برای فازهای a و a' را می توان این چنین

نوشت:

$$V_{a_1} = 2 \times 10^{-7} j\omega \left( \frac{I_a}{2} \ln \frac{1}{D_s} + \frac{I_b}{2} \ln \frac{1}{D_{tr}} + \frac{I_c}{2} \ln \frac{1}{D_{tr'}} \right)$$

$$+ \frac{I_a}{2} \ln \frac{1}{D_{rr'}} + \frac{I_b}{2} \ln \frac{1}{D_{rr''}} + \frac{I_c}{2} \ln \frac{1}{D_{rr'''}}$$

$$V_{a'_1} = 2 \times 10^{-7} j\omega \left( \frac{I_a}{2} \ln \frac{1}{D_s} + \frac{I_b}{2} \ln \frac{1}{D_{tr}} + \frac{I_c}{2} \ln \frac{1}{D_{tr'}} \right)$$

$$+ \frac{I_a}{2} \ln \frac{1}{D_{rr'}} + \frac{I_b}{2} \ln \frac{1}{D_{rr''}} + \frac{I_c}{2} \ln \frac{1}{D_{rr'''}}$$

همچنین در روابط گذشته می توان  $(I_a + I_c - I_b)$  را کاربرد و پس از چندین مرحله عملیات ریاضی خواهیم داشت:

$$L = 2 \times 10^{-7} \ln \frac{GMD}{GMR} \quad H/m \quad (3-61)$$

در این رابطه GMD فاصله متوسط هندسی خط دو مداره است که این چنین محاسبه می شود:

$$GMD = \sqrt[4]{D_{ab_{eq}} D_{bc_{eq}} D_{ac_{eq}}} \quad (3-62)$$

فاصله های متوسط از روابط زیر تعریف می شوند:

$$D_{ab_{eq}} = \sqrt[4]{D_{12} D_{34} D_{13} D_{24}} \quad (3-63)$$

$$D_{bc_{eq}} = \sqrt[4]{D_{14} D_{23} D_{12} D_{34}} \quad (3-64)$$

همچنین در رابطه (3-61) GMR شعاع متوسط هندسی خط دو مداره بترتیب زیر محاسبه می شود:

$$GMR = \sqrt[4]{GMR_a \cdot GMR_b \cdot GMR_c} \quad (3-64)$$

شعاع های متوسط هندسی هر فاز نیز از روابط زیر تعریف می شوند:

$$GMR_a = \sqrt{D_s D_{12}} \quad (3-65)$$

$$GMR_b = \sqrt{D_s D_{13}} \quad (3-65)$$

$$GMR_c = \sqrt{D_s D_{23}} \quad (3-65)$$

مثال ۳-۵ یک خط انتقال سه فاز دو مداره با هادیهای از نوع Drake در شکل (۳-۲۱) نشان داده شده است. اندوکتانس هر فاز این خط را بدست آورید.

در قسمت III از جابجایی فازها که در شکل (۳-۲۰) نشان داده شده است، چنین محاسبه می شوند:

$$V_{a_{III}} = 2 \times 10^{-7} j\omega \left( \frac{I_a}{2} \ln \frac{1}{D_s} + \frac{I_b}{2} \ln \frac{1}{D_{12}} + \frac{I_c}{2} \ln \frac{1}{D_{13}} \right. \\ \left. + \frac{I_a}{2} \ln \frac{1}{D_{23}} + \frac{I_b}{2} \ln \frac{1}{D_{13}} + \frac{I_c}{2} \ln \frac{1}{D_{23}} \right)$$

$$V_{a'_{III}} = 2 \times 10^{-7} j\omega \left( \frac{I_a}{2} \ln \frac{1}{D_s} + \frac{I_b}{2} \ln \frac{1}{D_{12}} + \frac{I_c}{2} \ln \frac{1}{D_{13}} \right. \\ \left. + \frac{I_a}{2} \ln \frac{1}{D_{23}} + \frac{I_b}{2} \ln \frac{1}{D_{13}} + \frac{I_c}{2} \ln \frac{1}{D_{23}} \right)$$

اف و لیتاژ متوسط در واحد طول برای هر یک از فازهای a و a' برابر است با:

$$V_a = \frac{1}{3} (V_{a_I} + V_{a_{II}} + V_{a_{III}})$$

$$V_{a'} = \frac{1}{3} (V_{a'_I} + V_{a'_{II}} + V_{a'_{III}})$$

b 1 3

c 2

2' c

a 3

1' b'

شکل ۳-۲۰ خط انتقال سه فاز دو مداره در قسمت III از جابجایی فازها

چون فازهای a و a' با یکدیگر موازی هستند لذا افت و لیتاژ در کل فاز a برابر است با:

$$\Delta V_a = \frac{V_a + V_{a'}}{2}$$

$$GMD = D_{eq} = \sqrt[4]{\frac{6}{5} \times \frac{6}{5} \times \frac{6}{5} \times \frac{8}{7}} = 7/115 \text{ m}$$

$$L = 2 \times 10^{-7} \ln \frac{D_{eq}}{D_{eq}} = 2 \times 10^{-7} \ln \frac{GMD}{GMR}$$

$$= 2 \times 10^{-7} \ln \frac{7/115}{0.3295} = 6/0.85 \times 10^{-7} \text{ H/m}$$

روش دیگر این است که از اثر القاء متقابل بین هادیهای دو مدار صرفظیر کنیم و اندوکتانس یک مدار را بدست آوریم، سپس آنرا نصف کنیم تا اندوکتانس خط دوبل بدست آید. برای این کار

داریم:

$$D_{eq} = \sqrt[4]{5 \times 5 \times 10} = 6/3 \text{ m}$$

$$L_s = 2 \times 10^{-7} \ln \frac{6/3}{0.1137} = 12/634 \times 10^{-7} \text{ H/m}$$

$$L_s = \frac{1}{2} L_i = 6/317 \times 10^{-7} \text{ H/m}$$

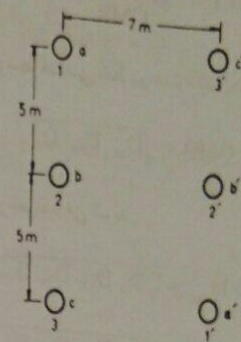
$$\frac{6/0.85 - 6/317}{6/0.85} = -0.038 \text{ خطای نسبی}$$

همانطور که مشاهده می شود خطای محاسبات با صرفظیر از اثر القاء متقابل دو مدار بر یکدیگر کمتر از ۴ درصد است.

### ۳-۱۴ خطوط انتقال دو مداره با هادیهای یاندل

در خطوط انتقال سه فاز دو مداره ممکن است از هادیهای گروهی (یاندل) استفاده شود. در این صورت برای محاسبه اندوکتانس هر فاز خط انتقال همانند خطوط دو مداره از روابط (۳-۶۱) تا (۳-۶۵) استفاده می شود و تنها تفاوت در این است که در روابط مذکور بجای  $D_s$  از شعاع متوسط هندسی یاندل یعنی  $D_{ave}$  استفاده می کنیم. مثال زیر روش تعیین اندوکتانس را روشن تر می کند.

$$D_s = 0.1137 \text{ ft} = 0.1137 \text{ m}$$



شکل ۳-۲۱ نمایش خط انتقال سه فاز دو مداره مربوط به مثال (۳-۵)

ابتدا GMR معادل خط دوبل را بدست می آوریم:

$$GMR_a = \sqrt{D_s D_{rr}} = \sqrt{0.1137 \times \sqrt{149}} = 0.3725 \text{ m}$$

$$GMR_b = \sqrt{D_s D_{rr'}} = \sqrt{0.1137 \times 7} = 0.2821 \text{ m}$$

$$GMR_c = \sqrt{D_s D_{rr''}} = \sqrt{0.1137 \times \sqrt{149}} = 0.3725 \text{ m}$$

$$GMR = \sqrt[3]{0.3725 \times 0.2821} = 0.2295 \text{ m}$$

برای تعیین GMD خط دوبل داریم:

$$D_{ave} = \sqrt[4]{5 \times 5 \times \sqrt{149} \times \sqrt{149}} = 6/56 \text{ m}$$

$$D_{ave} = \sqrt[4]{5 \times 5 \times \sqrt{149} \times \sqrt{149}} = 6/56 \text{ m}$$

$$D_{ave} = \sqrt[4]{10 \times 10 \times 7 \times 7} = 8/25 \text{ m}$$

$$GMD = D_{eq} = \sqrt[3]{\frac{1}{3} \times 2 \times \frac{1}{3} \times 2 \times \frac{1}{3}} = 2/645 \text{ m}$$

$$L = 2 \times 10^{-7} \ln \frac{GMD}{GMR} = 2 \times 10^{-7} \ln \frac{2/645}{0.465} = 3/47 \times 10^{-7} \text{ H/m}$$

### ۱۵-۳-۳ خلاصه محاسبه اندوکتانس خطوط انتقال

رابطه اصلی تعیین اندوکتانس خطوط انتقال در حالت های مختلف بصورت زیر

نوشته می شود:

$$L_s = 2 \times 10^{-7} \ln \frac{GMD}{GMR} = 2 \times 10^{-7} \ln \frac{D_{eq}}{D_s} \quad (3-66)$$

راکتانس القائی بر حسب  $\Omega/Km$  در فرکانس  $50$  Hz نیز از ضرب کردن مقدار اندوکتانس در  $2\pi f_0 \times 1000$  بدست می آید:

$$X_L = 0.0628 \ln \frac{D_{eq}}{D_s} \quad (3-67)$$

برای استفاده از روابط (۳-۶۶) و (۳-۶۷) حالت های مختلف زیر را در نظر می گیریم:

**الف: خط انتقال یک فاز.** در این صورت  $D_{eq}$  فاصله بین دو هادی خط بوده،  $D_s$  نیز

شعاع متوسط هندسی هادی است که از جدول (۱-۱) بدست می آید. اگر هادی تغیر باشد در اینصورت بجای  $D_s$  از  $r'$  استفاده می شود. اندوکتانس بدست آمده، اندوکتانس یک هادی از خط یک فاز می باشد.

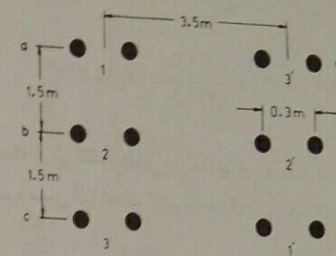
**ب: خط انتقال سه فاز.** در این حالت  $D_{eq}$  از رابطه زیر بدست می آید:

$$D_{eq} = \sqrt[3]{D_{12} D_{23} D_{13}} \quad (3-68)$$

**ج: خط سه فاز با هادیهای باندل.** در اینصورت بجای  $D_s$  از استفاده می شود و

$D_s$  نیز از رابطه (۳-۶۸) بدست می آید، در اینجا  $D_{12}$  و  $D_{23}$  مراکز باندلهای از پکدیگر می باشد.

**د: خط انتقال سه فاز دو مداره.** در اینصورت با تقریب قابل قبولی می توان



شکل ۶-۲۲ خط انتقال سه فاز دو مداره با هادیهای باندل دورشته ای

حل: برای هادی Hawk از جدول (۱-۳) شعاع متوسط هندسی هادی را بدست می آوریم:

$$D_s = 0.0289 \text{ ft} = 0.0088 \text{ m}$$

$$D_s^b = \sqrt{D_s d} = \sqrt{0.0088 \times 0.3} = 0.0514 \text{ m}$$

$$D_{s_a} = D_{s_c} = \sqrt{D_s D_{yy}} = \sqrt{0.0514 \times \sqrt{21/25}} = 0.487 \text{ m}$$

$$D_{s_b} = \sqrt{D_s D_{rr'}} = \sqrt{0.0514 \times 3/5} = 0.422 \text{ m}$$

$$D_{s_{eq}} = GMR = \sqrt[3]{0.487 \times 0.487 \times 0.422} = 0.465 \text{ m}$$

در تعیین GMD باید دقت نمود که مقصود از فاصله بین فازها، فاصله از مرکز باندل ها می باشد. لذا داریم:

$$D_{ab_{eq}} = \sqrt[3]{1/5 \times 1/5 \times \sqrt{14/5} \times \sqrt{14/5}} = 2/39 \text{ m}$$

$$D_{bc_{eq}} = \sqrt[3]{1/5 \times 1/5 \times \sqrt{14/5} \times \sqrt{14/5}} = 2/39 \text{ m}$$

$$D_{ac_{eq}} = \sqrt[3]{3 \times 3 \times 3/5 \times 3/5} = 3/24 \text{ m}$$

$$D_{eq} = \sqrt[3]{D_{ab_m} D_{bc_m} D_{ac_m}}$$

همچنین باید GMR خط دو مداره را با استفاده از روابط (۳-۶۴) و (۳-۶۵) محاسبه نمود تا بتوان از رابطه (۳-۶۶) اندوکتانس خط دو مداره را بدست آورد.

هـ: خط انتقال سه فاز دو مداره با هادیهای باندل. محاسبه اندوکتانس مانند حالت (د) است و تنها باید بجای  $D$  هادی  $D'$  را جایگزین نمود و توسط  $D'$  شعاع متوسط هندسه معادل یعنی GMR را تعیین و در رابطه (۳-۶۶) قرار داد.

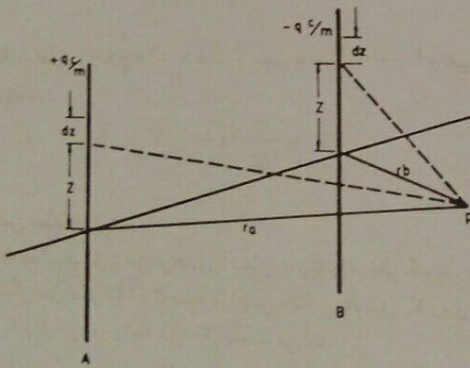
### ۱۶-۳ کاپاسیتانس خطوط انتقال

تا اینجا دو پارامتر خط انتقال شامل مقاومت و اندوکتانس که جمعاً امپدانس سری خط را تشکیل می دهند مورد بحث قرار گرفته اند. اندوکتانس خط قسمت اعظم امپدانس سری را تشکیل داده و در تعیین میزان ظرفیت انتقال قدرت خط نقش اساسی را بازی می کند. دو پارامتر دیگر خط انتقال که جمعاً امپدانس موازی را تشکیل می دهند عبارتند از کندوکتانس و کاپاسیتانس (ظرفیت خازنی).

مقدار کندوکتانس یک خط کاملاً متغیر است و به جریان نشتی روی مقعره ها، تغییرات شرایط جوی و تغییر خواص هدایتی جرم های جمع شده روی مقعره هاستگی دارد و لذا محاسبه آن بسیار مشکل می باشد. خوشبختانه از آنجانی که نقش کندوکتانس در تشکیل ادمیتانس موازی خط در مقایسه با کاپاسیتانس ناچیز می باشد از بررسی و تأثیر آن صرفنظر کرده و بحث ادمیتانس موازی خطوط را روی کاپاسیتانس مرکز می کنیم.

کاپاسیتانس یک خط انتقال نتیجه وجود اختلاف پتانسیل بین هادیها از یک طرف و بین هادیها و زمین از طرف دیگر می باشد. چون ولتاژ اعمال شده روی خط انتقال ولتاژ متنابض است لذا بار الکتریکی روی هادیها نیز AC بوده و با افزایش و کاهش اختلاف پتانسیل بین هادیها افزایش و کاهش می باید. در نتیجه جریانی از مسیر کاپاسیتانس خط عبور می کند که بطور متنابض باعث شارژ و دشارژ خط می گردد. این جریان به جریان شارژ کشته خط<sup>۱</sup> یا

#### 1. Line Charging Current



شکل ۳-۲۳ تعیین پتانسیل در نزدیکی دو هادی موازی

جریان کاپاسیتیو موسموم است. جریان های کاپاسیتیو حتی در شرایط بین باری خط نیز وجود دارند. کاپاسیتانس یک خط در افت ولتاژ، بهره و ضرب قدرت خط و همچنین در باید از کل سیستم نقش مهمی را بازی می کند. در خطوط کمتر از ۸۰ Km اثر کاپاسیتانس قابل ملاحظه نبوده و از آن صرفنظر می شود، لیکن در خطوط طولانی تر باید در محاسبات وارد شود.

### ۱۷-۳ پتانسیل الکتریکی یک نقطه در نزدیکی دو هادی موازی

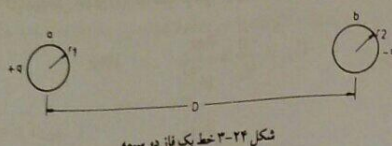
دو هادی موازی با طول بسیار زیاد را که بار الکتریکی یکتو اختر  $\pm q$  کلمب بر متر روی هر یک از آنها وجود دارد در نظر بگیرید (شکل ۳-۲۳). در بررسی اولیه این هادیها بسیار نازک فرض می شوند. می خواهیم پتانسیل الکتریکی در نقطه دلخواهی مانند P به فواصل  $r_a$  و  $r_b$  از دو هادی را تعیین کنیم. باید دقت نمود که در حالت کلی نقطه P در صفحه شامل دو سیم قرار ندارد.

قسمت بسیار کوچکی از دو هادی را با طول  $dz$  در نظر بگیرید. هر یک از دو قسمت با طول  $dz$  می تواند بعنوان نقطه ای باز الکتریکی  $qdz + qdz$  و یا  $-qdz$  محسوب گردد.

پتانسیل الکتریکی  $U$  در نقطه ای بفاصله  $z$  از بار الکتریکی  $q$  برابر است با:

$$U = \frac{q}{4\pi\epsilon_0 z} \quad (3-70)$$

$$dV_p = \frac{qdz}{4\pi\epsilon_0\sqrt{r_a^2 + z^2}} - \frac{qdz}{4\pi\epsilon_0\sqrt{r_b^2 + z^2}}$$



شکل ۳-۲۲ خط یک فاز در بین

بهمین ترتیب برای هادی b باشعاع  $r_b$  داریم:

$$V_b = \frac{q}{2\pi\epsilon_0} \ln \frac{r_b}{D} \quad (3-74)$$

اختلاف پتانسیل بین دو هادی برابر است با:

$$V_{ab} = V_a - V_b = \frac{q}{\pi\epsilon_0} \ln \frac{D}{\sqrt{r_a r_b}} \quad V \quad (3-75)$$

کاپاسیتанс بین دو هادی طبق تعریف برابر است با نسبت بار الکتریکی روی یک هادی به اختلاف پتانسیل بین دو هادی. بنابراین:

$$C_{ab} = \frac{q}{V_{ab}} = \frac{\pi\epsilon_0}{\ln \frac{D}{\sqrt{r_a r_b}}} \quad F/m \quad (3-76)$$

اگر  $r_a = r_b = r$  باشد داریم:

$$C_{ab} = \frac{\pi\epsilon_0}{\ln \frac{D}{r}} \quad F/m \quad (3-77)$$

رابطه (۳-۷۷) کاپاسیتанс دو هادی را بیکدیگر نشان می‌دهد. کاپاسیتанс هادی  $a$  نسبت به نقطه خیثی (زمین) طبق رابطه زیر تعریف می‌شود:

$$C_{ai} = \frac{q}{V_a} = \frac{\pi\epsilon_0}{\ln \frac{D}{r_i}} \quad F/m \quad (3-78)$$

پتانسیل نقطه p از انتگرال  $dV_p$  در طول هادی بدست می‌آید. اگر طول هر هادی را با  $L$  نشان دهیم انتگرال را می‌توان در فاصله  $-L$  تا  $+L$  تعیین نمود و سپس با قرار دادن  $\infty \rightarrow L$  پتانسیل الکتریکی نقطه p را بدست آورد:

$$V_p = \frac{q}{4\pi\epsilon_0} \int_{-L}^L \left( \frac{1}{\sqrt{r_a^2 + z^2}} - \frac{1}{\sqrt{r_b^2 + z^2}} \right) dz$$

$$V_p = \frac{q}{4\pi\epsilon_0} \ln \left( \frac{1 + \sqrt{1 + \left(\frac{r_a}{L}\right)^2}}{1 + \sqrt{1 + \left(\frac{r_b}{L}\right)^2}} \right) \left( -1 + \sqrt{1 + \left(\frac{r_b}{L}\right)^2} \right) \left( -1 + \sqrt{1 + \left(\frac{r_a}{L}\right)^2} \right) \quad (3-71)$$

پس از بسط جملات نظیر ...  $\sqrt{1+x} = 1 + \frac{1}{2}x + \dots$  و سپس با اعمال  $\infty \rightarrow L$  و تعیین حد رابطه خواهیم داشت:

$$V_p = \frac{q}{2\pi\epsilon_0} \ln \frac{r_b}{r_a} \quad V \quad (3-72)$$

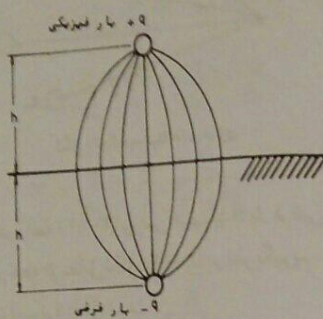
### ۳-۱۸ کاپاسیتанс خط یک فاز

یک خط انتقال یک فاز شامل دو هادی باشعاع  $r_a$  و  $r_b$  را در نظر بگیرید. فاصله مرکز دو هادی از یکدیگر طبق شکل (۳-۲۴) مساوی  $D$  می‌باشد. پتانسیل  $V_a$  روی هادی a با قرار دادن  $D = r_a + r_b$  در رابطه (۳-۷۲) بدست می‌آید:

$$V_a = \frac{q}{2\pi\epsilon_0} \ln \frac{D}{r_a} \quad (3-73)$$

#### 1. Permittivity

از سطح زمین مطابق شکل (۳-۲۶) در نظر گرفته می شود. سطح پتانسیل صفر در وسط بارهای  $q$  و  $-q$  قرار خواهد گرفت و در حقیقت زمین بعنوان صفحه هادی به ابعاد بی نهایت عمل می کند.



شکل ۳-۲۶- بار الکترویکی  $q$  و تأثیر زمین

بنابراین برای تأثیر زمین در تعیین کاپاسیتانس خطوط برای هر بار فیزیکی  $q$  + بار فرضی  $-q$  را بصورت قرینه  $q$  + نسبت به زمین در نظر گرفته و در محاسبات وارد می کیم.

۳-۲۰- پتانسیل یک نقطه در نزدیکی چند هادی موازی  
 همانطوریکه در قسمت (۳-۱۷) دیدیم پتانسیل الکترویکی نقطه  $p$  که به فواصل  $r_1$  و  $r_2$  از هادیهای موازی ۱ و ۲ قرار دارد به این ترتیب محاسبه می شود:

$$V_p = \frac{q}{2\pi\epsilon_0} \ln \frac{r_2}{r_1} = \frac{q}{2\pi\epsilon_0} \ln \frac{1}{r_1} + \frac{-q}{2\pi\epsilon_0} \ln \frac{1}{r_2} \quad (3-81)$$

شکل (۳-۲۷) یک سیستم با  $n$  هادی موازی بسیار بلند را نشان می دهد. بار الکترویکی این هادیها بترتیب برابر  $q_1, q_2, q_3, \dots, q_n$  می باشد. پتانسیل الکترویکی نقطه ای مانند  $p$  که در فاصله  $r_1, r_2, \dots, r_n$  از هادیها قرار دارد برابر است با:

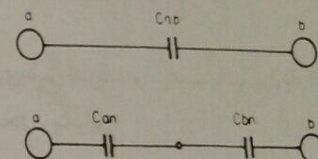
$$V_p = \frac{q_1}{2\pi\epsilon_0} \ln \frac{1}{r_1} + \frac{q_2}{2\pi\epsilon_0} \ln \frac{1}{r_2} + \dots + \frac{q_n}{2\pi\epsilon_0} \ln \frac{1}{r_n} \quad (3-82)$$

$$C_{bn} = \frac{-q}{V_b} = \frac{2\pi\epsilon_0}{\ln \frac{D}{r_i}} \quad F/m \quad (3-79)$$

برای  $r_i = r_e$  داریم:

$$C_n = C_{an} = C_{bn} = \frac{2\pi\epsilon_0}{\ln \frac{D}{r}} \quad (3-80)$$

این نتیجه با شکل (۳-۲۵) تطبیق دارد که نشان می دهد کاپاسیتانس بین دو هادی  $C_{ab}$  از سری شدن  $C_{an}$  و  $C_{bn}$  بدست می آید. کاپاسیتانس بین دو هادی نصف کاپاسیتانس هر یک از هادیها نسبت به نقطه خسته می باشد.



شکل ۳-۲۵- کاپاسیتانس بین دو هادی و کاپاسیتانس هر هادی با نقطه خسته

رابطه (۳-۸۰) قابل مقایسه با رابطه (۳-۶۶) می باشد. یک فرق اساسی بین معادلات بدست آمده برای محاسبه کاپاسیتانس و اندوکتانس در این است که شعاع  $r$  برای محاسبه کاپاسیتانس، شعاع خارجی هادی است، در صورتیکه در محاسبه اندوکتانس از GMR هادی استفاده می شود. شعاع خارجی هادی بر حسب اینچ از جدول (۱-۱) برای انواع هادیهای ACSR بدست می آید.

### ۳-۱۹- اثر زمین بر کاپاسیتانس خطوط

در رابطه (۳-۸۰) از تأثیر زمین بر روی کاپاسیتانس صرفنظر کرده ایم. در صورتیکه ارتفاع هادیها از سطح زمین خیلی زیاد نباشد حضور زمین باید تأثیر داده شود. اگر بار الکترویکی به ارتفاع  $h$  از سطح زمین قرار گرفته باشد تصویر فرضی آن با بار الکترویکی  $q$  در ارتفاع  $h$

خط یک فاز شامل دو هادی موازی a و b در شکل (۳-۲۹) نشان داده شده است. برای تاثیر دادن نقش زمین در کاپاسیتانس خط، هادیهای فرضی a' و b' را در فاصله h از زمین در نظر می‌گیریم. ولتاژ فاز a طبق رابطه (۳-۸۴) برآورده است با:

$$V_a = \frac{q}{2\pi\epsilon_0} \ln \frac{2h}{r} + \frac{-q}{2\pi\epsilon_0} \ln \frac{D_{ab}}{D}$$

$$V_a = \frac{q}{2\pi\epsilon_0} \ln \frac{2h}{r} \frac{D}{\sqrt{1 + \frac{D^2}{4h^2}}} \quad (3-85)$$

و از آنجا کاپاسیتانس n از رابطه زیر محاسبه می‌شود:

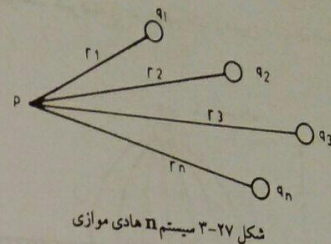
$$C_n = C_{an} = C_{bn} = \frac{\frac{2\pi\epsilon_0}{D}}{\ln \frac{1}{r'}} \quad F/m \quad (3-86)$$

مقایسه این رابطه با رابطه (۳-۸۰) نشان می‌دهد که  $r'$  جایگزین شعاع هادی ۲ شده است. مقدار  $r'$  از این رابطه تعیین می‌شود:

$$r' = r \sqrt{1 + \frac{D^2}{4h^2}} \quad (3-87)$$

بنابراین اثر زمین شعاع ۲ را به  $r'$  تبدیل می‌نماید. اگر ارتفاع هادی در مقایسه با فاصله دو هادی خیلی زیاد باشد از D در مقایسه با  $h^2$  صرفنظر شده و  $r = r'$  خواهد شد. کاپاسیتانس بین دو هادی خط یک فاز نیز با در نظر گرفتن اثر زمین این چنین محاسبه می‌شود:

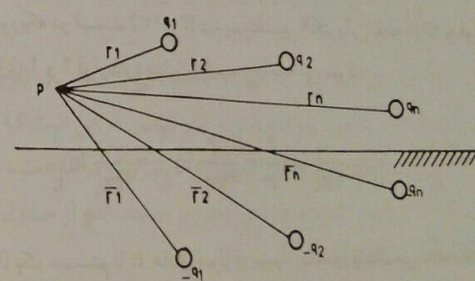
$$C_{ab} = \frac{\pi\epsilon_0}{\ln \frac{1}{r'}} \quad F/m \quad (3-88)$$



شکل ۳-۲۷ میستم n هادی موازی

اگر بخواهیم اثر زمین را در رابطه (۳-۸۲) بررسی کنیم باید n بار فرضی  $q_1, -q_2, -q_3, \dots, -q_n$  را در فواصل  $r_1, r_2, \dots, r_n$  از نقطه p مطابق شکل (۳-۲۸) در نظر بگیریم. در اینصورت پتانسیل الکتریکی نقطه p به این ترتیب نوشته می‌شود:

$$V_p = \frac{q_1}{2\pi\epsilon_0} \ln \frac{1}{r_1} + \frac{q_2}{2\pi\epsilon_0} \ln \frac{1}{r_2} + \dots + \frac{q_n}{2\pi\epsilon_0} \ln \frac{1}{r_n} + \frac{-q_1}{2\pi\epsilon_0} \ln \frac{1}{r_1} + \frac{-q_2}{2\pi\epsilon_0} \ln \frac{1}{r_2} + \dots + \frac{-q_n}{2\pi\epsilon_0} \ln \frac{1}{r_n} \quad (3-83)$$



شکل ۳-۲۸ میستم n هادی موازی و تاثیر زمین

$$V_p = \frac{q_1}{2\pi\epsilon_0} \ln \frac{1}{r_1} + \frac{q_2}{2\pi\epsilon_0} \ln \frac{1}{r_2} + \dots + \frac{q_n}{2\pi\epsilon_0} \ln \frac{1}{r_n} \quad (3-84)$$

$$\frac{9/852 - 9/838}{9/852} = 0.00142 = 0.0142$$

### ۳-۲۲ کاپاسیتانس خط انتقال سه فاز

کاپاسیتانس خط انتقال سه فاز را در حالت کلی که فاصله فازها از یکدیگر مساوی نبوده و جابجایی فازها در سه طول مساوی در خط انجام شده است مورد بررسی قرار می‌دهیم. با استفاده از شکل (۳-۲۳) پتانسیل الکتریکی فاز a را می‌نویسیم:

$$V_{a_1} = \frac{q_a}{2\pi\epsilon_0} \ln \frac{1}{r} + \frac{q_b}{2\pi\epsilon_0} \ln \frac{1}{D_{12}} + \frac{q_c}{2\pi\epsilon_0} \ln \frac{1}{D_{12}}$$

$$V_{a_2} = \frac{q_a}{2\pi\epsilon_0} \ln \frac{1}{r} + \frac{q_b}{2\pi\epsilon_0} \ln \frac{1}{D_{23}} + \frac{q_c}{2\pi\epsilon_0} \ln \frac{1}{D_{23}}$$

$$V_{a_3} = \frac{q_a}{2\pi\epsilon_0} \ln \frac{1}{r} + \frac{q_b}{2\pi\epsilon_0} \ln \frac{1}{D_{12}} + \frac{q_c}{2\pi\epsilon_0} \ln \frac{1}{D_{12}}$$

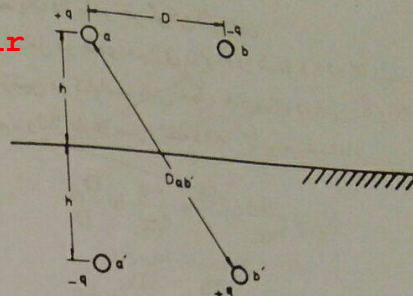
در این روابط ۳ شعاع هادیها و  $q_a$  و  $q_b$  و  $q_c$  نیز بار الکتریکی هادیهای فازهای a و b و c می‌باشند. پتانسیل  $V_a$  به این ترتیب محاسبه می‌شود:

$$V_a = \frac{1}{3} (V_{a_1} + V_{a_2} + V_{a_3})$$

$$V_a = \frac{1}{2\pi\epsilon_0} \left( q_a \ln \frac{1}{r} + (q_b + q_c) \ln \frac{1}{\sqrt[3]{D_{12} D_{23} D_{12}}} \right)$$

با توجه به اینکه  $q_b + q_c = -q_a$  می‌باشد داریم:

$$V_a = \frac{q_a}{2\pi\epsilon_0} \ln \frac{\sqrt[3]{D_{12} D_{23} D_{12}}}{r} \quad (3-89)$$



شکل ۳-۲۹ خط پک فاز با درنظر گرفتن تاثیر زمین

مثال ۳-۳ کاپاسیتانس یک فاز نسبت به نقطه خوشی را برای یک خط یک فاز با هادیهای Pheasant حساب کنید. فاصله دو هادی از یکدیگر ۵m و ارتفاع آنها از زمین ۲۰m می‌باشد.

حل: ابتدا با توجه به جدول (۱-۳) قطر خارجی هادی را بدست آورده و از آنجا شعاع هادی را محاسبه می‌کنیم:

$$r = 1/382 \times \frac{1}{2} \times 0.254 = 0.1755 \text{ m}$$

$$r' = r \sqrt{1 + \frac{D'}{4h^2}} = 0.1755 \sqrt{1 + \frac{5}{4 \times 20^2}} = 0.1769 \text{ m}$$

$$C_n = \frac{2\pi\epsilon_0}{\ln \frac{D}{r'}} = \frac{2\pi \times 8/85 \times 10^{-12}}{\ln \frac{5}{0.1769}} = 9/852 \times 10^{-12} \text{ F/m}$$

اگر اثر زمین را در نظر نگیریم داریم:

$$C_n = \frac{2\pi\epsilon_0}{\ln \frac{D}{r}} = \frac{2\pi \times 8/85 \times 10^{-12}}{\ln \frac{5}{0.1755}} = 9/838 \times 10^{-12} \text{ F/m}$$

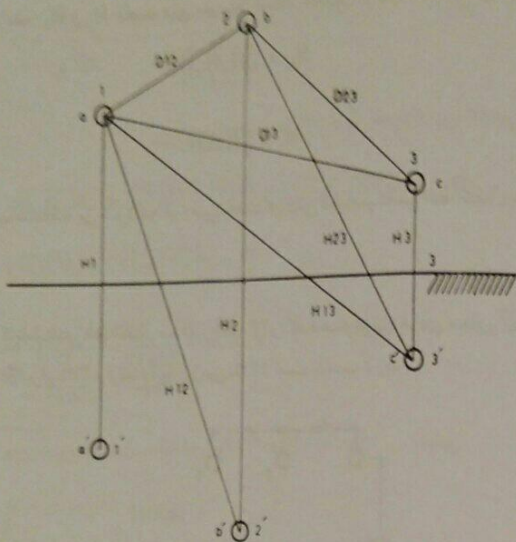
$$C_{an} = \frac{q_a}{V_a}$$

$$C_{an} = \frac{\frac{1}{2}\pi\epsilon_0}{\ln \frac{D_{eq}}{r}} F/m \quad (3-90)$$

در این رابطه  $D_{eq}$  بترتیب زیر بدست می آید:

$$D_{eq} = \sqrt[3]{D_{11} D_{12} D_{13}} \quad (3-91)$$

و این همان فاصله متوسط هندسی (GMD) است که در محاسبه اندوکتانس نیز داشته باشد. بدینهای است در صورتیکه فاصله فازها با یکدیگر برابر باشد، بجای  $D_{eq}$  از فاصله فازها  $D$  استفاده می شود.



شکل ۳-۳۰ خط سه فاز با درنظر گرفتن اثر زمین

ولتاژ متوسط فاز a برابر است با:

$$V_a = \frac{1}{3} (V_{a1} + V_{a2} + V_{a3})$$

با جایگزین کردن  $q_a = -q_b - q_c$  خواهیم داشت:

$$V_a = \frac{q_a}{\frac{1}{2}\pi\epsilon_0} \ln \left( \frac{D_{eq}}{r} \sqrt[3]{\frac{H_1 H_r H_r}{H_{11} H_{12} H_{13}}} \right) \quad (3-92)$$

$$C_{an} = \frac{\frac{1}{2}\pi\epsilon_0}{\ln \left( \frac{D_{eq}}{r} \sqrt[3]{\frac{H_1 H_r H_r}{H_{11} H_{12} H_{13}}} \right)} F/m \quad (3-93)$$

این رابطه را می توان بصورت زیر نوشت:

$$C_{an} = \frac{\frac{1}{2}\pi\epsilon_0}{\ln \frac{D_{eq}}{r} - \ln \frac{H_m}{H_s}} F/m \quad (3-94)$$

### ۳-۲۳ کاپاسیتانس خط سه فاز با درنظر گرفتن اثر زمین

با استفاده از تصاویر بارهای الکتریکی می توان اثر زمین را در تعیین کاپاسیتانس خط انتقال سه فاز بررسی نمود. شکل (۳-۳۰) هادیهای خط انتقال سه فاز را در قسمت I از سیکل جابجایی فازها نشان می دهد. تصاویر آینه ای بارهای  $q_a$ ,  $q_b$  و  $q_c$  بترتیب با  $-q_b - q_c$  و  $-q_a$  نشان داده شده اند. با توجه به رابطه (۳-۸۴) ولتاژ فاز a را می توان به این ترتیب نوشت:

$$V_{a1} = \frac{1}{2\pi\epsilon_0} \left( q_a \ln \frac{H_1}{r} + q_b \ln \frac{H_{12}}{D_{12}} + q_c \ln \frac{H_{13}}{D_{13}} \right)$$

در قسمت II و III از جابجایی خواهیم داشت:

$$V_{a2} = \frac{1}{2\pi\epsilon_0} \left( q_a \ln \frac{H_r}{r} + q_b \ln \frac{H_{rr}}{D_{rr}} + q_c \ln \frac{H_{1r}}{D_{1r}} \right)$$

$$V_{a3} = \frac{1}{2\pi\epsilon_0} \left( q_a \ln \frac{H_r}{r} + q_b \ln \frac{H_{1r}}{D_{1r}} + q_c \ln \frac{H_{rr}}{D_{rr}} \right)$$

$$C = \frac{2\pi\epsilon_0}{\ln \frac{D_{eq}}{r}} = \frac{2\pi \times 8.85 \times 10^{-12}}{\ln \frac{5/24}{0.1755}} = 9.824 \times 10^{-12} \text{ F/m}$$

حال کاپاسیتانس را با در نظر گرفتن اثر زمین بدست می آوریم:

$$H_m = \sqrt[3]{H_{lr} H_{rr} H_{tr}} = \sqrt[3]{\frac{24}{24} \times \frac{24}{24} \times \frac{24}{24}} = 24/65 \text{ m}$$

$$H_s = \sqrt[3]{H_l H_r H_t} = \sqrt[3]{24 \times 24 \times 24} = 24 \text{ m}$$

$$C = \frac{2\pi \times 8.85 \times 10^{-12}}{\ln \frac{5/24}{0.1755} - \ln \frac{24/65}{24}} = 9.871 \times 10^{-12} \text{ F/m}$$

$$Y_c = j\omega C = j \times 2\pi \times 50 \times 9.871 \times 10^{-12} = j^3 / 101 \times 10^{-9} \text{ S/m}$$

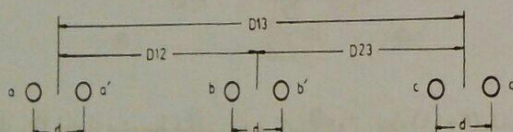
$$Y_c = j^3 / 101 \times 10^{-9} \text{ S/Km}$$

$$I_a = j\omega C V_{an} = Y_c V_{an} = j^3 / 101 \times 10^{-9} \times \frac{24}{\sqrt{3}} \times 10^7 = j^3 / 4118 \text{ A/Km}$$

به این ترتیب جریان خازنی (کاپاسیتیو) خط  $V/Km = 4118/0$  است. برای تعیین جریان کاپاسیتیو کل خط، این مقدار باید در طول خط بر حسب Km ضرب شود.

### ۳-۲۴ کاپاسیتانس خطوط باهادیهای باندل

شکل (۳-۳۲) (۳) خطی باهادیهای گروهی (باندل) را نشان می دهد که هر باندل آن دارای دو رشته هادی می باشد. با محاسبه  $V$  (ولتاژ فاز  $a$ ) می توان کاپاسیتانس هر فاز چنین خطی را محاسبه نمود. اگر بار الکتریکی در فاز  $a$  را  $q_a$  نشان دهیم، هادی های  $a$  و  $a'$  هر



شکل ۳-۳۲ خط سه فاز باهادی های باندل دو رشته ای

۸۳

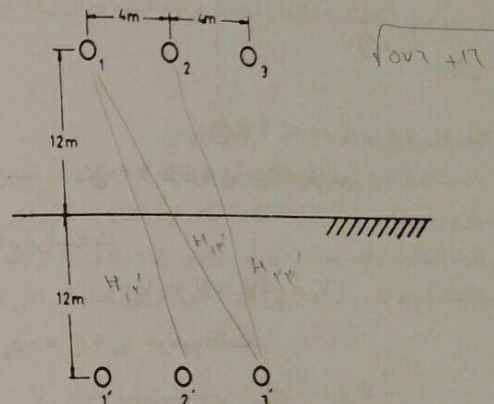
$$H_m = \sqrt[3]{H_{lr} H_{rr} H_{tr}}$$

$$H_s = \sqrt[3]{H_l H_r H_t}$$

(۳-۹۵)

به این ترتیب مشاهده می شود که اثر زمین باعث افزایش کاپاسیتانس خط انتقال سه فاز می گردد.

مثال ۳-۸ کاپاسیتانس خط انتقال سه فاز KV ۲۳۰ را که فاصله هر دو هادی مجاور آن مطابق شکل (۳-۳۱) برابر ۴m و ارتفاع آنها از زمین ۱۲m است بدست آورید.



شکل ۳-۳۱ مربوط به مثال ۳-۸

شعاع هادیها از نوع Pheasant cm ۱/۷۵۵ می باشد. جریان کاپاسیتیو خط را نیز محاسبه کنید.

حل: ابتدا کاپاسیتانس خط را بدون در نظر گرفتن اثر زمین محاسبه می کنیم:

$$D_{eq} = \sqrt[3]{4 \times 4 \times 8} = 5/24 \text{ m}$$

۸۲

$$V_{a_1} = \frac{\frac{1}{2}q_a}{2\pi\epsilon_0} \ln \frac{1}{r} + \frac{\frac{1}{2}q_a}{2\pi\epsilon_0} \ln \frac{1}{d} + \frac{\frac{1}{2}q_b}{2\pi\epsilon_0} \ln \frac{1}{D_{1r}}$$

$$+ \frac{\frac{1}{2}q_b}{2\pi\epsilon_0} \ln \frac{1}{D_{1r}} + \frac{\frac{1}{2}q_c}{2\pi\epsilon_0} \ln \frac{1}{D_{1r}} + \frac{\frac{1}{2}q_c}{2\pi\epsilon_0} \ln \frac{1}{D_{1r}}$$

$$V_{a_2} = \frac{1}{2\pi\epsilon_0} \left( q_a \ln \frac{1}{\sqrt{rd}} + q_b \ln \frac{1}{D_{1r}} + q_c \ln \frac{1}{D_{1r}} \right)$$

$$V_{a_3} = \frac{1}{2\pi\epsilon_0} \left( q_a \ln \frac{1}{\sqrt{rd}} + q_b \ln \frac{1}{D_{1r}} + q_c \ln \frac{1}{D_{1r}} \right)$$

$$\text{با توجه به روابط } q_b + q_c = -q_a \text{ و } V_a = \frac{1}{3} (V_{a_1} + V_{a_2} + V_{a_3}) \text{ داریم:}$$

$$V_a = \frac{q_a}{2\pi\epsilon_0} \ln \frac{D_{eq}}{\sqrt{rd}} \quad (3-96)$$

ولذا کاپاسیتانس فاز a نسبت به نقطه خشی برابر است با:

$$C_a = \frac{\frac{2\pi\epsilon_0}{D_{eq}}}{\ln \frac{D_{eq}}{\sqrt{rd}}} \quad F/m \quad (3-97)$$

در این رابطه  $D_{eq}$  فاصله متوسط هندسی هادیها است که از رابطه (3-91) بدست می آید.  
مقایسه رابطه (3-97) با رابطه (3-90) نشان می دهد که  $\sqrt{rd}$  جانشین  $r$  شده است.

$\sqrt{rd}$  را می توان  $D_{eq}^b$  خط باندل برای محاسبه کاپاسیتانس نامید. تفاوت  $D_{eq}^b$  در این حالت با  $D_{eq}^b$  که برای محاسبه آندوکتانس بکار می رود این است که در محاسبه کاپاسیتانس برای تعیین  $D_{eq}^b$  (شعاع متوسط هندسی) بجای  $D_b$  هادی از استفاده می شود که  $D_b$  در اینجا شعاع خارجی هادی است. بنابراین معادله تعیین کاپاسیتانس خط سه فاز به این صورت نوشته می شود:

$$C_a = \frac{\frac{2\pi\epsilon_0}{D_{eq}}}{\ln \frac{D_{eq}^b}{D_b}} \quad F/m \quad (3-98)$$

شعاع متوسط هندسی (GMR) برای تعیین کاپاسیتانس خطوط انتقال سه فاز با هادیها باندل  
برتیب زیر محاسبه می شود.

$$D_{eq}^b = \sqrt{rd} \quad \text{هادی باندل دورشته ای}$$

$$D_{eq}^b = \sqrt[4]{rd^2} \quad \text{هادی باندل سه رشته ای} \quad (3-99)$$

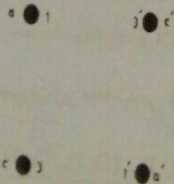
$$D_{eq}^b = 1.09 \sqrt[4]{rd^2} \quad \text{هادی باندل چهار رشته ای}$$

### ۳-۲۵ کاپاسیتانس خطوط سه فاز دو مداره

در یک خط سه فاز دو مداره می توان کاپاسیتانس هر فاز یک مدار را بدست آورد و با تقریب نسبت آقابل قبول آنرا دو برابر نمود تا کاپاسیتانس خط دوبل بدست آید. در هر صورت اگر دو مدار خط انتقال روی یک دکل قرار گرفته باشند بهتر است برای دقت بیشتر تاثیر مدارها را بر یکدیگر برمی نمود.

در شکل (3-۳۳) یک خط انتقال سه فاز دو مداره در قسمت I از سیکل جایگانی

فازها نشان داده شده است.



شکل ۳-۳۳ خط سه فاز دو مداره در قسمت I از جایگانی فازها

$$V_{a_1} = \frac{1}{2\pi\epsilon_0} \ln \frac{1}{r} + \frac{1}{2\pi\epsilon_0} \ln \frac{1}{D_{1r}} + \frac{1}{2\pi\epsilon_0} \ln \frac{1}{D_{1r}}$$

$$+ \frac{1}{2\pi\epsilon_0} \ln \frac{1}{D_{1r}} + \frac{1}{2\pi\epsilon_0} \ln \frac{1}{D_{1r}} + \frac{1}{2\pi\epsilon_0} \ln \frac{1}{D_{1r}}$$

$$V_{a'_1} = \frac{1}{2\pi\epsilon_0} \ln \frac{1}{r} + \frac{1}{2\pi\epsilon_0} \ln \frac{1}{D_{1r}} + \frac{1}{2\pi\epsilon_0} \ln \frac{1}{D_{1r}}$$

$$+ \frac{1}{2\pi\epsilon_0} \ln \frac{1}{D_{1r}} + \frac{1}{2\pi\epsilon_0} \ln \frac{1}{D_{1r}} + \frac{1}{2\pi\epsilon_0} \ln \frac{1}{D_{1r}}$$

$$C_a = \frac{2\pi\epsilon_0}{\ln \frac{GMD}{GMR}} F/m \quad (3-101)$$

فاصله متوسط هندسی (GMD) (خط میان فاز دو مداره بترتیب زیر تعریف می‌شود):

$$GMD = \sqrt[4]{D_{ab_{eq}} D_{bc_{eq}} D_{ca_{eq}}} \quad (3-102)$$

$$D_{ab_{eq}} = \sqrt[4]{D_{1r} D_{1r'} D_{1r} D_{1r'}} \quad (3-103)$$

$$D_{bc_{eq}} = \sqrt[4]{D_{1r} D_{1r'} D_{1r} D_{1r'}} \quad (3-104)$$

$$D_{ca_{eq}} = \sqrt[4]{D_{1r} D_{1r'} D_{1r} D_{1r'}} \quad (3-105)$$

شعاع متوسط هندسی GMR نیز مطابق زیر محاسبه می‌شود:

$$GMR = \sqrt[r]{r_a r_b r_c} \quad (3-106)$$

$$r_a = \sqrt[r]{D_{1r}} \quad (3-107)$$

$$r_b = \sqrt[r]{D_{1r'}} \quad (3-108)$$

$$r_c = \sqrt[r]{D_{1r''}} \quad (3-109)$$

### ۳-۲۶ خلاصه محاسبه کاپاسیتانس خطوط انتقال

رابطه اصلی تعیین کاپاسیتانس خطوط انتقال بصورت زیر نوشته می‌شود:

$$C_a = \frac{2\pi\epsilon_0}{\ln \frac{GMD}{GMR}} = \frac{2\pi\epsilon_0}{\ln \frac{D_{eq}}{D_{eq}}} F/m \quad (3-110)$$

کاپاسیتانس خازنی  $C_a$  بر حسب  $\omega$  در فرکانس  $Km$  نیز از ضرب کردن مقدار

بهین ترتیب با توجه به قسمت های II و III از سیکل جابجایی فازها (شکل های ۳-۱۹ و

۳-۲۰) می‌توان  $V_{a_{eq}}$  و  $V_{a'_{eq}}$  و  $V_{a_{eq}}$  را نوشت و سپس با استفاده از روابط زیر  $V_{an}$  را

محاسبه نمود:

$$V_a = \frac{1}{3} (V_{a_1} + V_{a_{11}} + V_{a_{111}})$$

$$V_{a'} = \frac{1}{3} (V_{a'_1} + V_{a'_{11}} + V_{a'_{111}})$$

$$V_{an} = \frac{1}{3} (V_a + V_{a'})$$

$$q_b + q_c = -q_a$$

پس از انجام عملیات لازم  $V_{an}$  بصورت زیر محاسبه می‌شود:

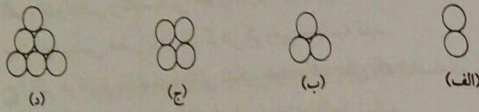
$$V_{an} = \frac{q_a}{12(2\pi\epsilon_0)} \ln \frac{(D_{1r} D_{1r'} D_{1r''} D_{1r})(D_{1r} D_{1r'} D_{1r''} D_{1r''}) (D_{1r} D_{1r'} D_{1r''} D_{1r''})}{r^3 (D_{1r} D_{1r'} D_{1r''})} \quad (3-100)$$

کاپاسیتانس در  $50 \times 2\pi = 1000$  بدست می آید: و متعاقباً در

$$B_c = \frac{1/747 \times 10^{-5}}{\ln \frac{D_{eq}}{D_{sc}}} \Omega/Km \quad (3-111)$$

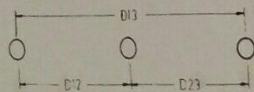
### مسئلہ نمبر سوم

۳-۳ برای هر یک از هادیهای رشته‌ای شکل (۳-۳۴) شعاع متوسط هندسی (GMR) را بحسب شعاع هر رشته  $D$  بدست آورید.



شکل ۳-۳۴ مربوط به مساله (۳-۳)

۳-۲ در یک خط انتقال سه فاز فاصله هادیهای سه فاز با یکدیگر مساوی بوده و مقدار آن  $D = 5 m$  می باشد. اگر بخواهیم خط انتقال را بصورت افقی مطابق شکل (۳-۳۵) طراحی نمائیم، فاصله هادیهای مجاور چقدر باشد تا اندوکتانس حاصله با اندوکتانس خط سه فاز اولیه برابر باشد. ( $D_{12} = D_{23}$ )



شکل ۳-۳۵ مربوط به مساله (۳-۲)

۳-۳ در خط سه فاز  $765KV$  مطابق شکل (۳-۳۶) از هادیهای باندل از نوع Pheasant استفاده شده است. اندوکتانس، کاپاسیتانس و جریان خازنی خط را در فرکانس  $60 HZ$  بدست آورید.

راکتانس خازنی  $X$  نیز بر حسب  $\Omega.Km$  به این ترتیب محاسبه می شود:

$$X_c = \frac{1}{B_c} = 5/724 \times 10^4 \ln \frac{D_{eq}}{D_{sc}} \Omega.Km \quad (3-112)$$

برای استفاده از روابط (۳-۱۱۰) تا (۳-۱۱۲) حالات های مختلف زیر را در نظر می گیریم:

**الف:** خط انتقال یک فاز. در این صورت  $D_{eq}$  فاصله بین دو هادی خط بوده و  $D_{sc}$  نیز شعاع خارجی هادی یعنی  $2m$  باشد. کاپاسیتانس بدست آمده، کاپاسیتانس هر یک از هادیها نسبت به نقطه خنثی می باشد و کاپاسیتانس بین دو هادی نصف کاپاسیتانس هر هادی نسبت به نقطه خنثی است.

**ب:** خط انتقال سه فاز. در این حالت  $D_{eq}$  فاصله متوسط هندسی از رابطه زیر بدست می آید:

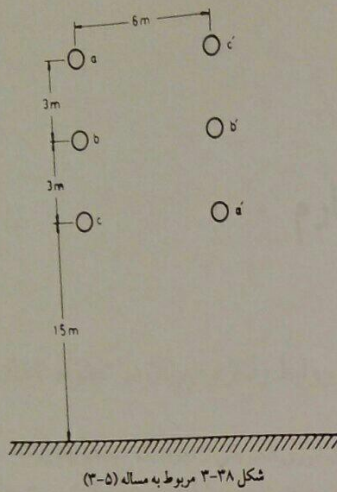
$$D_{eq} = \sqrt[3]{D_{12} D_{13} D_{23}} \quad (3-113)$$

**ج:** خط سه فاز با هادیهای باندل. در این صورت بجای  $D_{sc}$  باید از  $D_{eq}^b$  استفاده نمود و  $D_{eq}$  نیز از رابطه (۳-۱۱۳) بدست می آید که در اینجا  $D_{12}$ ,  $D_{23}$  و  $D_{13}$  فاصله مراکز باندلها از یکدیگر می باشند.

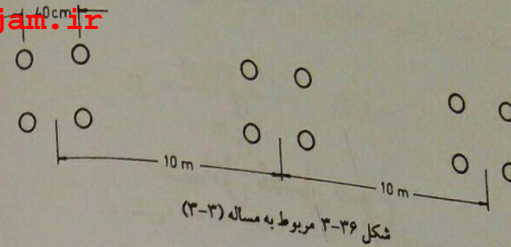
**د:** خط انتقال سه فاز دو مداره. در این صورت با تقریب قابل قبولی می توان کاپاسیتانس خط یک مداره را در برابر کرد و برای محاسبه دقیق تر باید  $D_{ac_{eq}}$ ,  $D_{bc_{eq}}$ ,  $D_{ab_{eq}}$  و  $D_{eq}$  را با استفاده از روابط (۳-۱۰۳) تا (۳-۱۰۵) تعیین نمود و سپس  $D_{eq}$  یا GMD را به این ترتیب محاسبه نمود:

$$D_{eq} = \sqrt[3]{D_{ab_{eq}} D_{bc_{eq}} D_{ac_{eq}}} \quad (3-114)$$

همچنین باید GMR خط دو مداره را با استفاده از روابط (۳-۱۰۶) تا (۳-۱۰۹) محاسبه نمود تا بتوان از رابطه (۳-۱۱۰) کاپاسیتانس خط دو مداره را بدست آورد. در خطوط سه فاز دو مداره باندل نیز مطابق فوق عمل می کنیم و تنها باید بجای  $2$  از  $D_{eq}^b$  استفاده نمود.



شکل ۳-۳۸ مربوط به مساله (۳-۵)



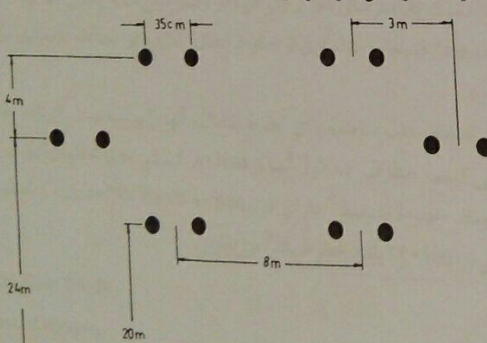
شکل ۳-۳۶ مربوط به مساله (۳-۳)

۴-۴ خط انتقال سه فازی مطابق شکل (۳-۳۷) دارای آرایش هادیه‌ای بصورت مثلث می‌باشد. هادیها از نوع Cardinal می‌باشند.

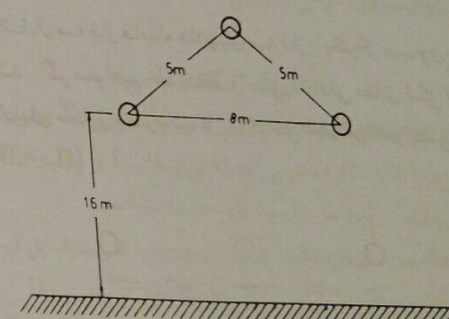
الف: اندوکتانس و کاپاسیتانس خط را بدون تأثیر زمین بدست آورید.

ب: کاپاسیتانس خط را با در نظر گرفتن اثر زمین محاسبه کنید.

ج: اگر هر فاز از باندل‌های دوتانی تشکیل شده باشد بطوریکه فاصله دو رشته در هر باندل  $30\text{ cm} = d$  باشد قسمت‌های (الف) و (ب) را مجددآ حل نمائید.



شکل ۳-۳۹ مربوط به مساله (۳-۶)



شکل ۳-۴۰ مربوط به مساله (۳-۴)

۴-۵ در یک خط سه فاز دو مداره از هادیهای Drake استفاده شده است. فاصله بین هادیها و ارتفاع آنها مطابق شکل (۳-۳۸) مشخص شده است.

الف: اندوکتانس و راکتانس القائی خط را محاسبه کنید.

ب: کاپاسیتانس و ساپسیتانس خط را محاسبه نمائید.

$$(I) \quad L = \rho_{XL} \cdot V \ln \frac{G_{MD}}{G_{MR}}$$

$$ZL = WL = \rho_n F_L \quad (2)$$

$$G_{MD} = D_{eq}$$

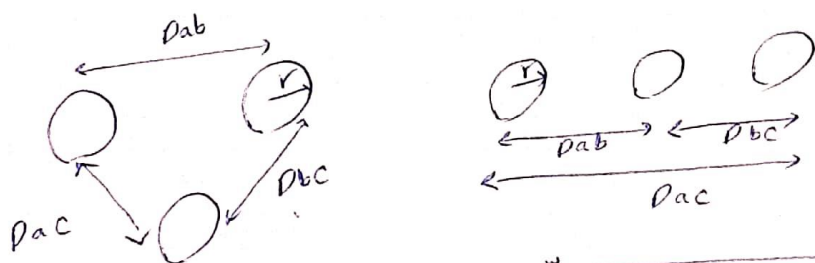
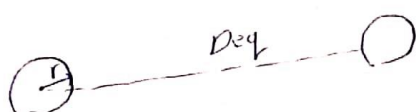
$$G_{MR} = D_s e^{-\frac{1}{r}} = e^{-\frac{1}{r}}$$

ساع در

$$C = \frac{\rho_n E}{\epsilon_{IF} \cdot L_n \frac{G_{MD}}{G_{MR}}}$$

$$E = N_A \cdot \rho_{XL}$$

$$ZC = \frac{1}{WC} = \frac{1}{\rho_n F_C} \quad (3)$$



$$D_{eq} = \sqrt{D_{ab} \times D_{bc} \times D_{ac}} \quad (1)$$

حذف باند:  $G_{MR} = \frac{1}{R} \rightarrow G_{MD} = \frac{1}{D_{eq}}$

$$(II) \quad G_{MR} = \begin{cases} \frac{\sqrt{D_s d}}{\sqrt{D_{sd} r}} & \text{بساط} \\ 1,91 \sqrt{D_s d^3} & \text{معقد} \end{cases} \quad D_s = \frac{r}{r'} \quad D_{eq} = \frac{d}{d'}$$

حذف درهاره: اندکترنس نسبتاً منته درهاره

$$(I) \quad G_{MD} \quad (II) \quad G_{MR} \quad \leftarrow \text{بساط} \quad \leftarrow \text{معقد}$$

## ۵-۴-۲ باندل کردن خطوط

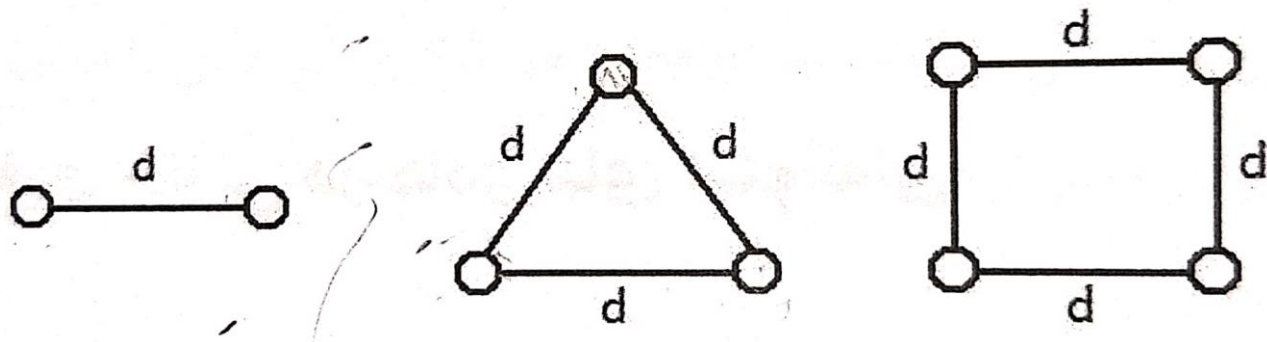
معمولاً برای خطوط با ولتاژ بسیار بالا (EHV) در هر فاز بیشتر از یک هادی استفاده شده که این روش باندل کردن (گروهی کردن) خطوط نامیده می‌شود. این کار شدت میدان الکتریکی در سطح هادی را کاهش داده و سبب کاهش یا حذف پدیده کرونا می‌شود. نتایج کرونا تلفات نامطلوب توان، تداخل ارتباطی و نویز شنوابی می‌باشد. همچنین در باندل کردن با افزایش GMR هادی‌ها مطابق رابطه ۳۹ راکتانس سری خط کاهش یافته و در نتیجه بارپذیری خط انتقال افزایش می‌یابد.

شکل ۱۰-۲ خطوط باندل شده متداول را نشان می‌دهد. فرض کنید GMR هر هادی فرعی برابر  $D_s$  باشد، در این صورت برای کل هادی باندل شده با توجه به رابطه (۴۱) می‌توانیم شعاع متوسط هندسی را به صورت  $GMR = D_{SL} = D_s \sqrt[4]{d^3}$  تعریف کنیم. برای چند فرم باندل کردن، در ادامه محاسبه شده است.

$$D_{SL} = \sqrt[4]{(D_s \times d)^2} = \sqrt{D_s d} \quad (m) \quad (49)$$

$$D_{SL} = \sqrt[3]{(D_s \times d \times d)^3} = \sqrt[3]{D_s d^2} \quad (m) \quad (50)$$

$$D_{SL} = \sqrt[16]{(D_s \times d \times d \times d \sqrt{2})^4} = 1.091 \sqrt[4]{D_s d^3} \quad (m) \quad (51)$$

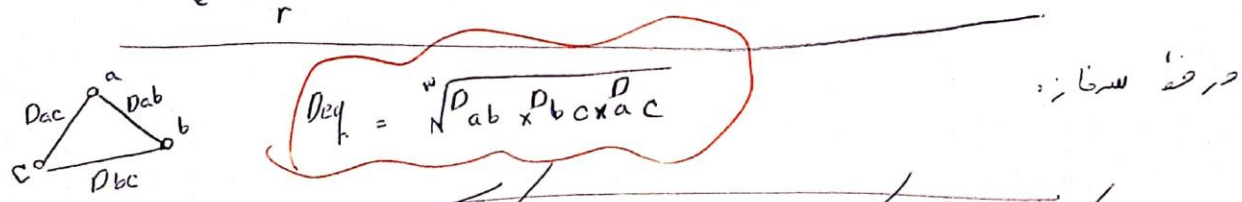


آخر اندکا نزدیک دارای طول سی هادی متر مساعی همچو خارج از برادران

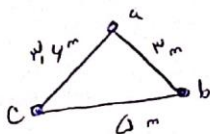
$$\frac{P_{H^+}}{R} = P_{X^+} \cdot e^{-\frac{r}{f}}$$

$$\frac{y \times f(x) - V}{R} = y \times 1 - \frac{V}{R} \rightarrow x = f \quad e^{\ln u} = u$$

$$\Rightarrow \frac{e^f}{e^{-\frac{1}{f}} r} = e^f \Rightarrow r = \frac{e^f}{e^f + e^{-\frac{1}{f}}} = e^{\frac{1}{f}}$$



**هیل** ، والتاں میں اکھر لیہ هر ٹھنڈا سرخاں ۸۰۱۸ میلان قشر، مادیں (تیکی) ۴۱mm وفا صد بیس  
مادیں میں مکالبیق سسل زیر است رام دست آورید.



$$D_{eq} = \sqrt{r_x^2 + r_y^2} = r' \text{, VA}$$

$$l = r_{x1} - \sqrt{r_n \frac{D_{eq}}{r'}} = r_{x1} - \sqrt{r_n \frac{r' V A}{\Lambda_1 M V x_1 - r'}}$$

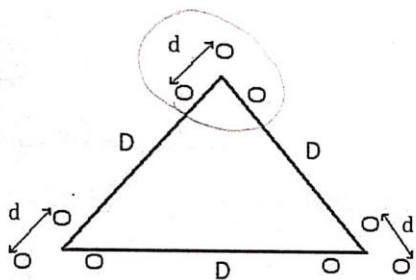
$$R_L = \rho n f l = 0.1 \text{ N/A} \frac{2}{\text{km}}$$

$$GMR \leq r' = \sqrt{D_s l} = \sqrt{r \sqrt{r} e^{\frac{1}{f}} \times r \sqrt{r} e^{\frac{1}{f}} \times e^{-\frac{1}{f}}} \\ = e^{\sqrt[4]{r}}$$

$$Deg = \sqrt[4]{D D D} = D \sqrt[4]{r} = e^{\frac{1}{4} \sqrt[4]{r}}$$

$$\Rightarrow l = \gamma_{x1} \cdot \sqrt{l_n} \frac{e^{\frac{1}{4} \sqrt[4]{r}}}{e^{\frac{1}{4} \sqrt[4]{r}}} = \gamma_{x1} \cdot \sqrt{l_n} e^{\frac{1}{4} \sqrt[4]{r}} = \gamma_{x1} \cdot \sqrt{x1}$$

مثال: در خط انتقال نشان داده شده در شکل، نسبت  $\frac{GMR_L}{GMR_C}$  برابر است با:



0.75 (۱)

0.34 (۲)

0.92 (۳)

0.56 (۴)

حل: هادی‌های خط دارای باند 3 تایی می‌باشند و داریم:

$$GMR_L = \sqrt[3]{r'd^2} = \sqrt[3]{e^{-\frac{1}{4}} rd^2} \Rightarrow \frac{GMR_L}{GMR_C} = \frac{\sqrt[3]{e^{-\frac{1}{4}} rd^2}}{\sqrt[3]{rd^2}} = \sqrt[3]{e^{-\frac{1}{4}}}$$

می‌دانیم که  $e^{-\frac{1}{4}} = 0.7788$  و ریشه سوم یک عدد کوچکتر از یک، از خود آن عدد بزرگتر می‌باشد. لذا گزینه‌ای که در جواب صدق می‌کند گزینه ۳ است.

مثال : هادی‌های یک خط انتقال سدفاز بر روی رأس یک مثلث متساوی‌الاضلاع به اضلاع  $r e^{10}$  متر قرار دارند. شعاع هادی‌ها ۲ متر می‌باشد نسبت ادمیتانس خازنی به راکتانس سلفی خط چقدر می‌باشد؟

$$\frac{8\pi^2 \epsilon_0}{205\mu_0} \quad (4)$$

$$\frac{22\pi^2 \epsilon_0}{74\mu_0} \quad (3)$$

$$\frac{8\epsilon_0}{\pi\mu_0} \quad (2)$$

$$\frac{\pi^2 \epsilon_0}{100\mu_0} \quad (1)$$

حل : اندازه ادمیتانس خازنی و راکتانس سلفی عبارتند از:

$$\boxed{x_L = \omega L}$$

$$\boxed{Y_c = \omega C}$$

که  $C, L$  به ترتیب اندوکتانس و ظرفیت خازنی فاز می‌باشد.

$$\begin{aligned} \frac{Y_c}{X_L} &= \frac{C}{L} = \frac{\frac{2\pi\epsilon_0}{\ln\left(\frac{D}{r}\right)}}{\frac{\mu_0}{2\pi} \ln\left(\frac{D}{r'}\right)} = \frac{4\pi^2 \epsilon_0}{\mu_0} \times \frac{1}{\ln\left(\frac{re^{10}}{r}\right) \ln\left(\frac{re^{10}}{re^{-\frac{1}{4}}}\right)} = \\ &= \frac{4\pi^2 \epsilon_0}{\mu_0} \times \frac{1}{10 \times \frac{41}{4}} = \frac{8\pi^2 \epsilon_0}{205\mu_0} \end{aligned}$$

لذا گزینه ۴ صحیح می‌باشد.

توجه شود که در محاسبه اندوکتانس از شعاع مؤثر  $r' = \left(e^{-\frac{1}{4}} r\right)$  و در محاسبه ظرفیت خازنی از شعاع واقعی  $r$  استفاده می‌شود.